

# Códigos de Subespaço aplicados a Codificação de Rede

---

Roberto Wanderley da Nóbrega  
Orientador: Bartolomeu Ferreira Uchôa Filho, Ph.D.

Grupo de Pesquisa em Comunicações  
Departamento de Engenharia Elétrica  
Universidade Federal de Santa Catarina

---

7 de agosto de 2009

# Conteúdo

- 1** Introdução
- 2 Fundamentos de Codificação de Rede
- 3 Problemas em Codificação de Rede
- 4 Codificação de Subespaço
- 5 Codificação de Subespaço Multishot
- 6 Conclusão

# Conteúdo

- 1 **Introdução**
- 2 **Fundamentos de Codificação de Rede**
- 3 Problemas em Codificação de Rede
- 4 Codificação de Subespaço
- 5 Codificação de Subespaço Multishot
- 6 Conclusão

# Conteúdo

- 1 **Introdução**
- 2 **Fundamentos de Codificação de Rede**
- 3 **Problemas em Codificação de Rede**
- 4 Codificação de Subespaço
- 5 Codificação de Subespaço Multishot
- 6 Conclusão

# Conteúdo

- 1 **Introdução**
- 2 **Fundamentos de Codificação de Rede**
- 3 **Problemas em Codificação de Rede**
- 4 **Codificação de Subespaço**
- 5 Codificação de Subespaço Multishot
- 6 Conclusão

# Conteúdo

- 1 **Introdução**
- 2 **Fundamentos de Codificação de Rede**
- 3 **Problemas em Codificação de Rede**
- 4 **Codificação de Subespaço**
- 5 **Codificação de Subespaço Multishot**
- 6 Conclusão

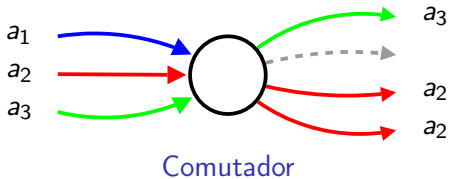
# Conteúdo

- 1 Introdução
- 2 Fundamentos de Codificação de Rede
- 3 Problemas em Codificação de Rede
- 4 Codificação de Subespaço
- 5 Codificação de Subespaço Multishot
- 6 Conclusão

# Introdução

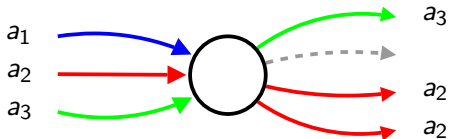
# Roteamento vs codificação de rede

## Mudança de paradigma

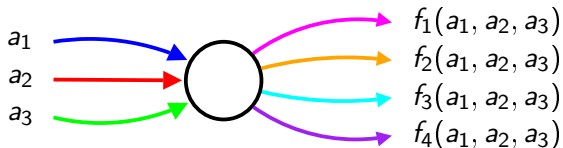


# Roteamento vs codificação de rede

## Mudança de paradigma



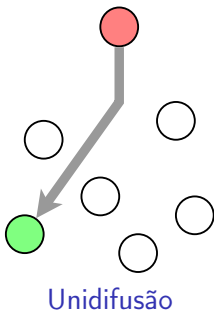
Comutador



Codificador

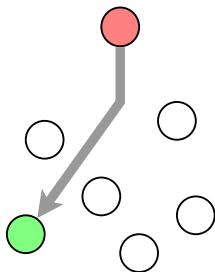
# Fluxo de informação em redes

## Dois casos particulares

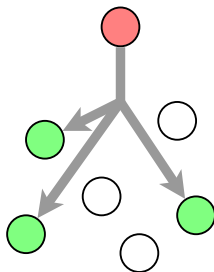


# Fluxo de informação em redes

## Dois casos particulares



Unidifusão



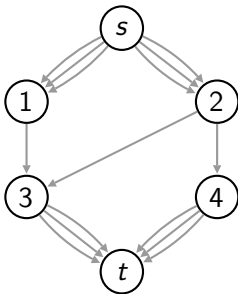
Multidifusão

# Fluxo de informação em redes

## Problema do fluxo máximo

### Fato

Roteamento é suficiente para o caso **unidifusão**



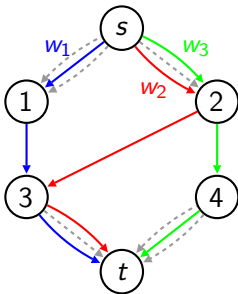
# Fluxo de informação em redes

## Problema do fluxo máximo

### Fato

Roteamento é suficiente para o caso **unidifusão**

Fluxo máximo  
(maxflow)



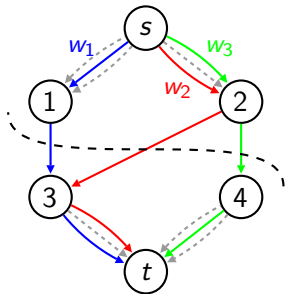
# Fluxo de informação em redes

## Problema do fluxo máximo

### Fato

Roteamento é suficiente para o caso **unidifusão**

Fluxo máximo  
(maxflow)



Corte mínimo  
(mincut)

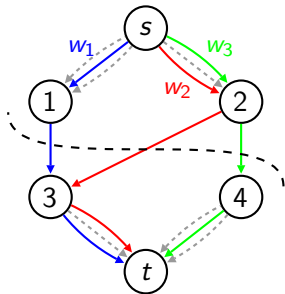
# Fluxo de informação em redes

## Problema do fluxo máximo

### Fato

Roteamento é suficiente para o caso **unidifusão**

Fluxo máximo  
(maxflow)

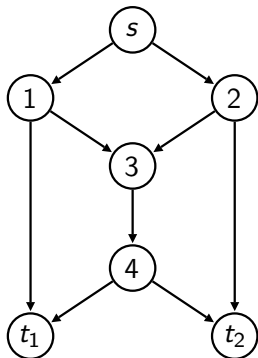


Corte mínimo  
(mincut)

Possível solução: algoritmo de **Ford-Fulkerson**

# Rede borboleta

## Exemplo multidifusão

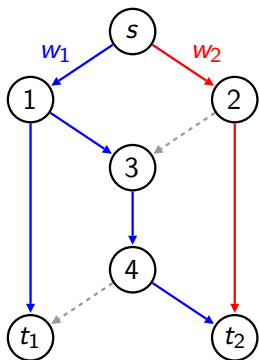


### Citação

*“A teoria do **fluxo de informação** não tem as mesmas respostas simples que a teoria do **fluxo de água em canos.**”*  
— Cover & Thomas

# Rede borboleta

## Solução com roteamento

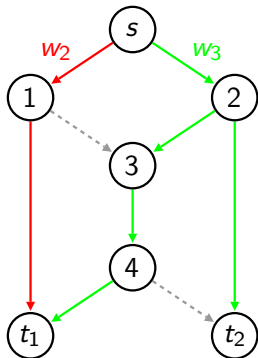


Após o instante 1:

- Nó  $t_1$  tem  $w_1$
- Nó  $t_2$  tem  $w_1$ ,  $w_2$

# Rede borboleta

## Solução com roteamento

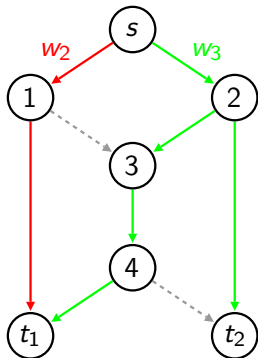


Após o instante 2:

- Nó  $t_1$  tem  $w_1$ ,  $w_2$ ,  $w_3$
- Nó  $t_2$  tem  $w_1$ ,  $w_2$ ,  $w_3$

# Rede borboleta

## Solução com roteamento



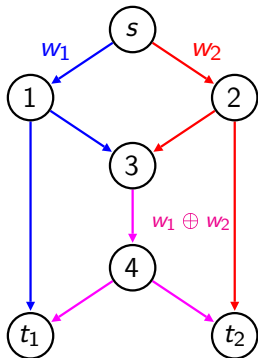
Multidifusão de 3 bits  
em 2 instantes de tempo

### Desempenho

1,5 bits / instante de tempo

# Rede borboleta

## Solução com codificação de rede

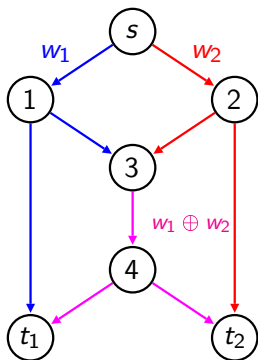


Funcionamento:

- Nó 3 combina o que recebe
- Nó  $t_1$  tem  $w_1$  e  $w_1 \oplus w_2$
- Nó  $t_2$  tem  $w_2$  e  $w_1 \oplus w_2$
- Ambos recuperam  $w_1$  e  $w_2$

# Rede borboleta

## Solução com codificação de rede



Multidifusão de 2 bits  
em 1 instante de tempo

### Desempenho

2 bits / instante de tempo

# Fundamentos de Codificação de Rede

# Códigos de rede

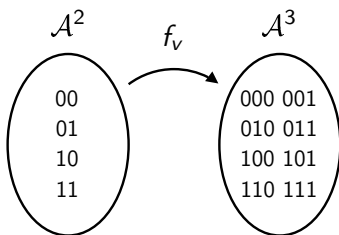
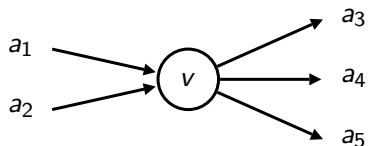
## Descrição local de um código de rede

### Mapeamentos de codificação locais

Um para cada nó não-fonte  $v$ :

$$f_v : \mathbf{a}_{\text{In}(v)} \mapsto \mathbf{a}_{\text{Out}(v)}$$

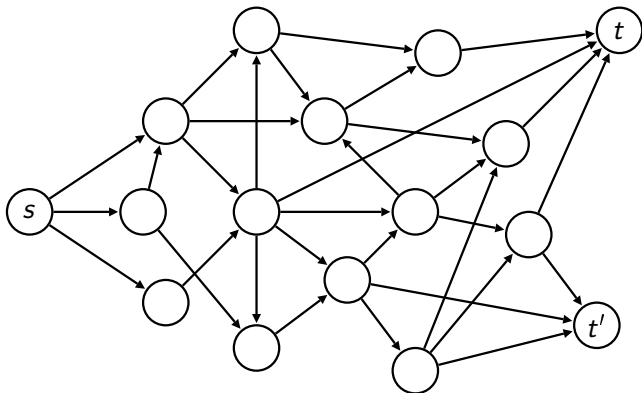
$$(a_1, a_2) \xrightarrow{f_v} (a_3, a_4, a_5)$$



# Códigos de rede

## Funções de transferência

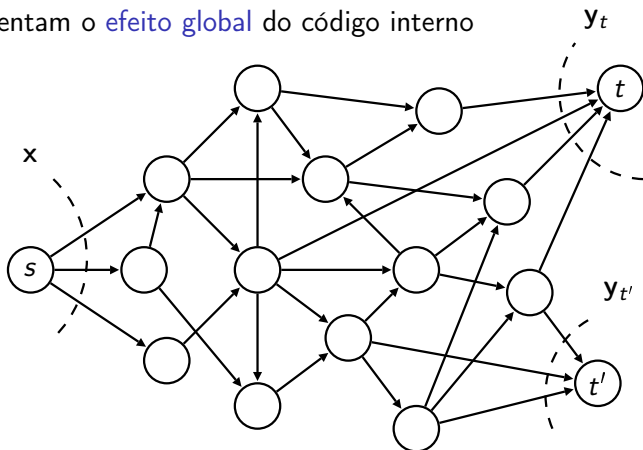
Representam o **efeito global** do código interno



# Códigos de rede

## Funções de transferência

Representam o **efeito global** do código interno



# Códigos de rede

## Funções de transferência

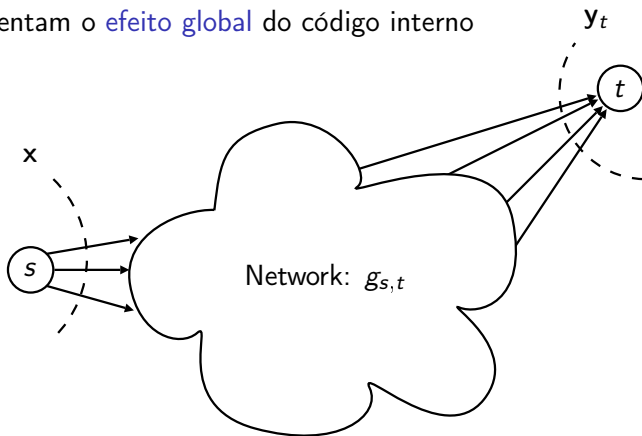
Representam o **efeito global** do código interno



# Códigos de rede

## Funções de transferência

Representam o **efeito global** do código interno



# Taxas alcançáveis

## Teorema fundamental da multidifusão

### Teorema

A fonte é capaz de multidifundir a uma taxa  $h$  *iff*

$$h \leq \min_{t \in \mathcal{T}} \text{mincut}(s, t)$$

- Em geral, codificação de rede é necessária (ex. borboleta)
- Códigos de rede **lineares** são suficientes

# Taxas alcançáveis

## Teorema fundamental da multidifusão

### Teorema

A fonte é capaz de multidifundir a uma taxa  $h$  *iff*

$$h \leq \min_{t \in \mathcal{T}} \text{mincut}(s, t)$$

- Em geral, codificação de rede é necessária (ex. borboleta)
- Códigos de rede **lineares** são suficientes

# Taxas alcançáveis

## Teorema fundamental da multidifusão

### Teorema

A fonte é capaz de multidifundir a uma taxa  $h$  *iff*

$$h \leq \min_{t \in \mathcal{T}} \text{mincut}(s, t)$$

- Em geral, codificação de rede é necessária (ex. borboleta)
- Códigos de rede **lineares** são suficientes

# Codificação de rede linear

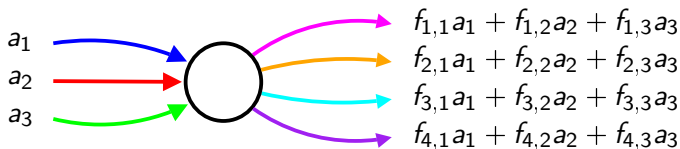
## Códigos de rede lineares

- Saída dos nós são **combinações lineares** das entradas
  
  
  
  
  
  
  
  
  
  
- Alfabeto: **corpo finito**  $\mathbb{F}_q$
- Mapeamentos de codificação são representados por **matrizes**

# Codificação de rede linear

## Códigos de rede lineares

- Saída dos nós são **combinações lineares** das entradas

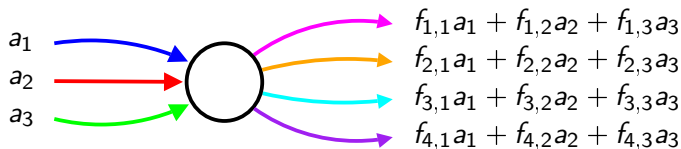


- Alfabeto: corpo finito  $\mathbb{F}_q$
- Mapeamentos de codificação são representados por matrizes

# Codificação de rede linear

## Códigos de rede lineares

- Saída dos nós são **combinações lineares** das entradas

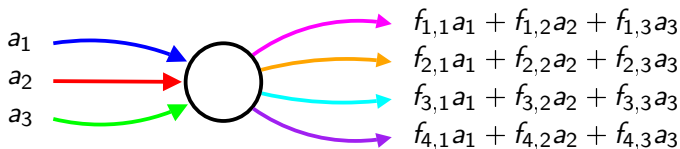


- Alfabeto: **corpo finito**  $\mathbb{F}_q$
- Mapeamentos de codificação são representados por **matrizes**

# Codificação de rede linear

## Códigos de rede lineares

- Saída dos nós são **combinações lineares** das entradas



- Alfabeto: **corpo finito**  $\mathbb{F}_q$
- Mapeamentos de codificação são representados por **matrizes**

# Codificação de rede linear

## Matrizes de transferência

- Funções de transferência são representadas por **matrizes**

- Sistema MIMO linear sobre corpos finitos

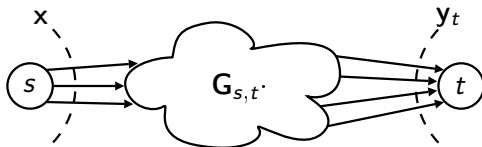
### Teorema fundamental da multidifusão

É possível escolher  $\mathbf{G}_{s,t}$  com posto  $h$  iff  $h \leq \min_{t \in \mathcal{T}} \text{mincut}(s, t)$

# Codificação de rede linear

## Matrizes de transferência

- Funções de transferência são representadas por **matrizes**



- Sistema MIMO linear sobre corpos finitos

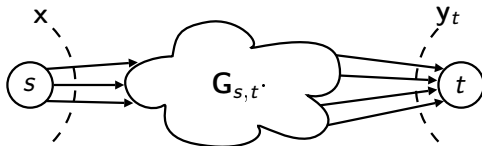
### Teorema fundamental da multidifusão

É possível escolher  $G_{s,t}$  com posto  $h$  iff  $h \leq \min_{t \in \mathcal{T}} \text{mincut}(s, t)$

# Codificação de rede linear

## Matrizes de transferência

- Funções de transferência são representadas por **matrizes**



- Sistema **MIMO linear** sobre corpos finitos

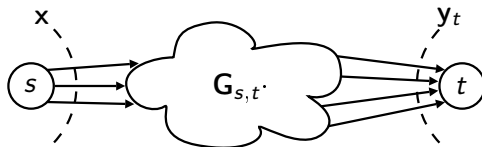
### Teorema fundamental da multidifusão

É possível escolher  $G_{s,t}$  com posto  $h$  iff  $h \leq \min_{t \in \mathcal{T}} \text{mincut}(s, t)$

# Codificação de rede linear

## Matrizes de transferência

- Funções de transferência são representadas por **matrizes**



- Sistema **MIMO linear** sobre corpos finitos

### Teorema fundamental da multidifusão

É possível escolher  $\mathbf{G}_{s,t}$  com posto  $h$  *iff*  $h \leq \min_{t \in \mathcal{T}} \text{mincut}(s, t)$

# Codificação de rede linear

## Codificação de rede aleatória

- Nós efetuam combinações lineares aleatórias
- Alta probabilidade de código bem-sucedido quando  $q$  é grande
- Funcionamento descentralizado do sistema

# Codificação de rede linear

## Codificação de rede aleatória

- Nós efetuam **combinações lineares aleatórias**
- Alta probabilidade de **código bem-sucedido** quando  $q$  é grande
- Funcionamento **descentralizado** do sistema

# Codificação de rede linear

## Codificação de rede aleatória

- Nós efetuam **combinações lineares aleatórias**
- Alta probabilidade de **código bem-sucedido** quando  $q$  é grande
- Funcionamento **descentralizado** do sistema

# Codificação de rede vetorial linear

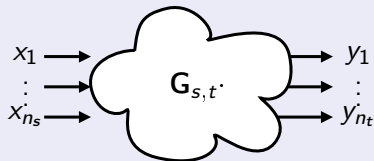
## Códigos escalares vs códigos vetoriais

- Generalização dos códigos lineares escalares

### Escalar

#### Escalares

de um corpo finito  $\mathbb{F}_q$



### Vetorial

#### Vetores ( $m$ -tuplas)

de um espaço vetorial  $\mathbb{F}_q^m$



# Codificação de rede vetorial linear

## Representação matricial



Formam-se as matrizes de entrada  $\mathbf{X}$  e saída  $\mathbf{Y}$ :

$$\mathbf{X} = \left[ \begin{array}{ccc} \leftarrow & x_1 & \rightarrow \\ & \vdots & \\ \leftarrow & x_{n_s} & \rightarrow \end{array} \right]_{n_s \times m}$$

$$\mathbf{Y} = \left[ \begin{array}{ccc} \leftarrow & y_1 & \rightarrow \\ & \vdots & \\ \leftarrow & y_{n_t} & \rightarrow \end{array} \right]_{n_t \times m}$$

# Codificação de rede vetorial linear

## Representação matricial



Formam-se as matrizes de **entrada**  $\mathbf{X}$  e **saída**  $\mathbf{Y}$ :

$$\mathbf{X} = \left[ \begin{array}{ccc} \leftarrow & \mathbf{x}_1 & \rightarrow \\ & \vdots & \\ \leftarrow & \mathbf{x}_{n_s} & \rightarrow \end{array} \right]_{n_s \times m}$$

$$\mathbf{Y} = \left[ \begin{array}{ccc} \leftarrow & \mathbf{y}_1 & \rightarrow \\ & \vdots & \\ \leftarrow & \mathbf{y}_{n_t} & \rightarrow \end{array} \right]_{n_t \times m}$$

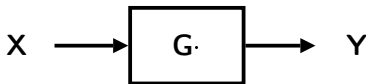
# Codificação de rede vetorial linear

## Representação matricial



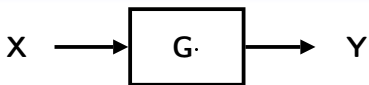
Formam-se as matrizes de **entrada**  $\mathbf{X}$  e **saída**  $\mathbf{Y}$ :

$$\mathbf{X} = \left[ \begin{array}{ccc} \leftarrow & \mathbf{x}_1 & \rightarrow \\ & \vdots & \\ \leftarrow & \mathbf{x}_{n_s} & \rightarrow \end{array} \right]_{n_s \times m} \quad \mathbf{Y} = \left[ \begin{array}{ccc} \leftarrow & \mathbf{y}_1 & \rightarrow \\ & \vdots & \\ \leftarrow & \mathbf{y}_{n_t} & \rightarrow \end{array} \right]_{n_t \times m}$$



# Codificação de rede vetorial linear

## Representação matricial



Hipóteses:  $n_s = n_t = h$ , em que  $h \leq \min_{t \in \mathcal{T}} \text{mincut}(s, t)$

### Teorema fundamental da multidifusão

É possível escolher  $G \in \mathbb{F}_q^{h \times h}$  inversível

### Codificação de rede linear aleatória

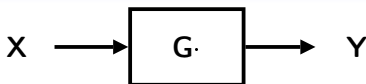
Para  $q$  grande,  $G \in \mathbb{F}_q^{h \times h}$  é inversível com alta probabilidade

### Fato

Qualquer que seja  $X \in \mathbb{F}_q^{h \times m}$ , é possível recuperá-lo:  $X = G^{-1} \cdot Y$

# Codificação de rede vetorial linear

## Representação matricial



Hipóteses:  $n_s = n_t = h$ , em que  $h \leq \min_{t \in \mathcal{T}} \text{mincut}(s, t)$

### Teorema fundamental da multidifusão

É possível escolher  $G \in \mathbb{F}_q^{h \times h}$  inversível

### Codificação de rede linear aleatória

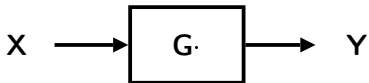
Para  $q$  grande,  $G \in \mathbb{F}_q^{h \times h}$  é inversível com alta probabilidade

### Fato

Qualquer que seja  $X \in \mathbb{F}_q^{h \times m}$ , é possível recuperá-lo:  $X = G^{-1} \cdot Y$

# Codificação de rede vetorial linear

## Representação matricial



Hipóteses:  $n_s = n_t = h$ , em que  $h \leq \min_{t \in \mathcal{T}} \text{mincut}(s, t)$

### Teorema fundamental da multidifusão

É possível escolher  $\mathbf{G} \in \mathbb{F}_q^{h \times h}$  inversível

### Codificação de rede linear aleatória

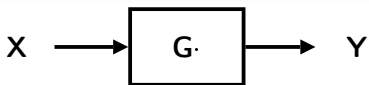
Para  $q$  grande,  $\mathbf{G} \in \mathbb{F}_q^{h \times h}$  é inversível com alta probabilidade

### Fato

Qualquer que seja  $\mathbf{X} \in \mathbb{F}_q^{h \times m}$ , é possível recuperá-lo:  $\mathbf{X} = \mathbf{G}^{-1} \cdot \mathbf{Y}$

# Codificação de rede vetorial linear

## Representação matricial



Hipóteses:  $n_s = n_t = h$ , em que  $h \leq \min_{t \in \mathcal{T}} \text{mincut}(s, t)$

### Teorema fundamental da multidifusão

É possível escolher  $\mathbf{G} \in \mathbb{F}_q^{h \times h}$  **invertível**

### Codificação de rede linear aleatória

Para  $q$  grande,  $\mathbf{G} \in \mathbb{F}_q^{h \times h}$  é **invertível** com alta probabilidade

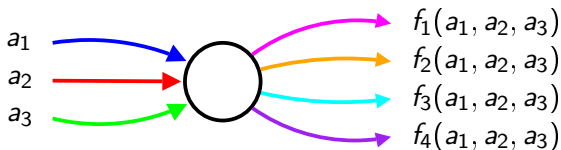
### Fato

Qualquer que seja  $\mathbf{X} \in \mathbb{F}_q^{h \times m}$ , é possível recuperá-lo:  $\mathbf{X} = \mathbf{G}^{-1} \cdot \mathbf{Y}$

# Problemas em Codificação de Rede

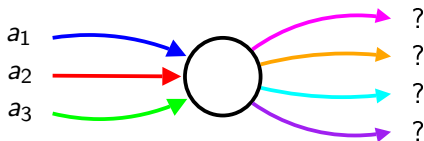
# Problemas em codificação de rede

## Desconhecimento do código de rede



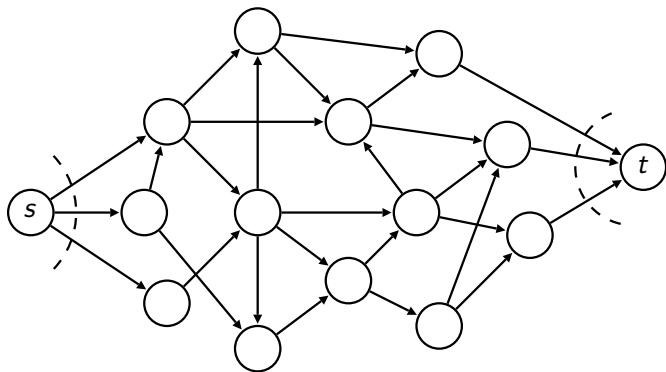
# Problemas em codificação de rede

## Desconhecimento do código de rede



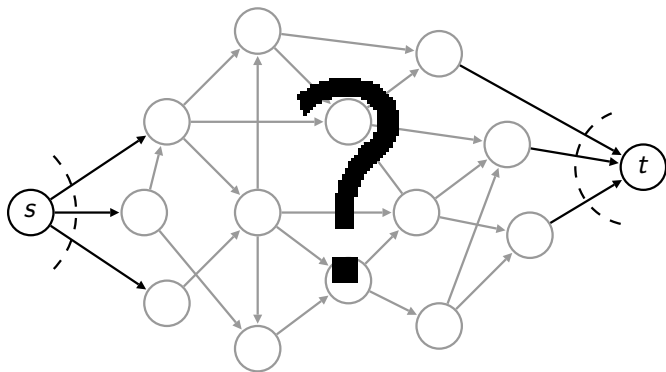
# Problemas em codificação de rede

## Desconhecimento da topologia



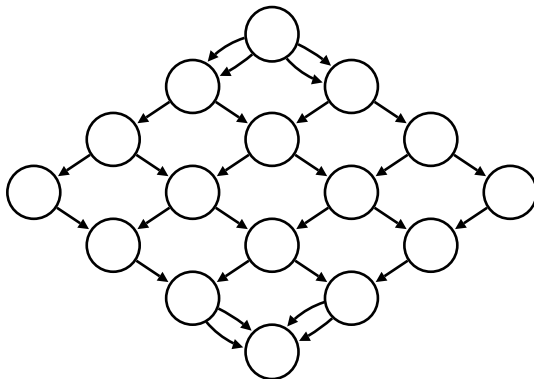
# Problemas em codificação de rede

## Desconhecimento da topologia



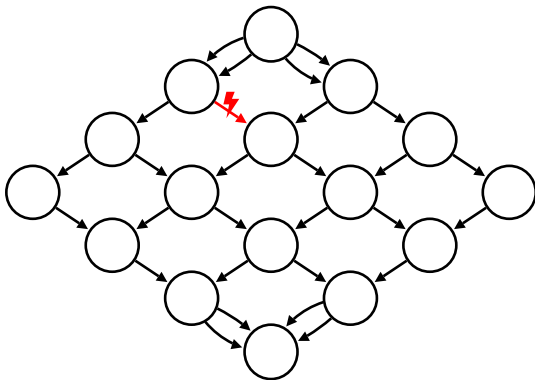
# Problemas em codificação de rede

## Erros nos canais



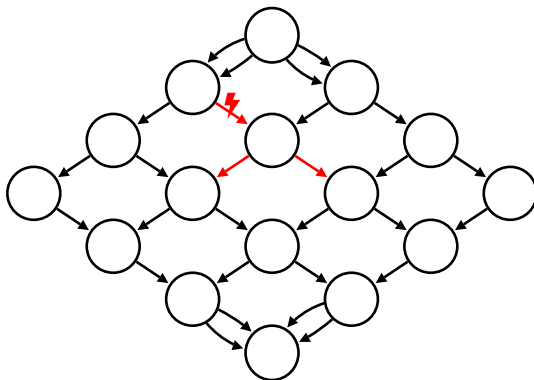
# Problemas em codificação de rede

## Erros nos canais



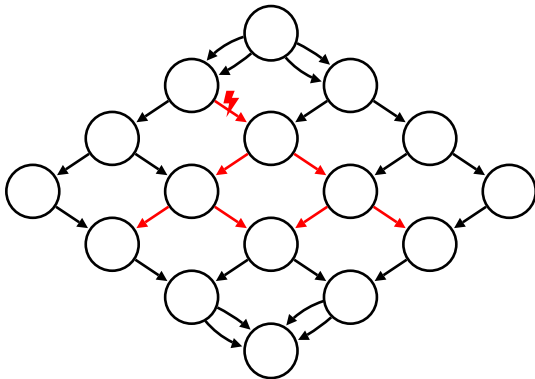
# Problemas em codificação de rede

## Erros nos canais



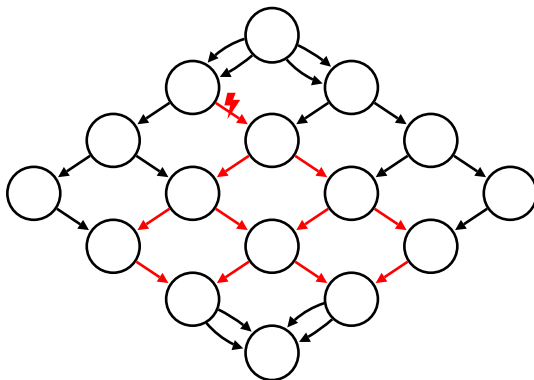
# Problemas em codificação de rede

## Erros nos canais



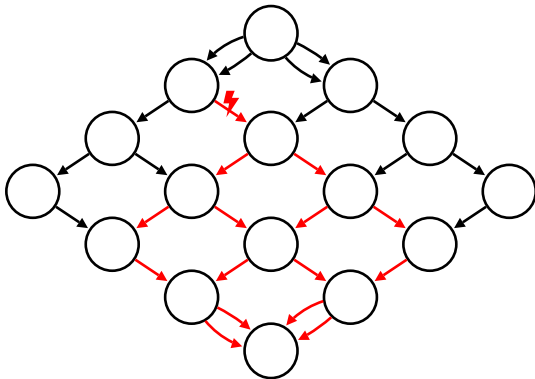
# Problemas em codificação de rede

## Erros nos canais



# Problemas em codificação de rede

## Erros nos canais



# Problemas em codificação de rede

## Outros problemas

- Perdas de pacotes
- Em codificação de rede linear aleatória:
  - Escolha infeliz das combinações lineares
  - mincut superestimado

# Problemas em codificação de rede

## Outros problemas

- Perdas de pacotes
- Em **codificação de rede linear aleatória**:
  - Escolha infeliz das combinações lineares
  - mincut superestimado

# Não-coerência

## Descrição e proposta



- Transmissor e receptor **desconhecem** a matriz **G**
- Como proceder? Através de códigos matriciais externos:
  - Limitar as possíveis entradas a um subconjunto  $\mathcal{X} \subseteq \mathbb{F}_q^{h \times m}$
  - Preço: redução da taxa
- Duas propostas:
  - Chou *et. al.*
  - Koetter & Kschischang

# Não-coerência

## Descrição e proposta



- Transmissor e receptor **desconhecem** a matriz **G**
- Como proceder? Através de **códigos matriciais** externos:
  - Limitar as possíveis entradas a um subconjunto  $\mathcal{X} \subseteq \mathbb{F}_q^{h \times m}$
  - Preço: redução da **taxa**
- Duas propostas:
  - Chou *et. al.*
  - Koetter & Kschischang

# Não-coerência

## Descrição e proposta



- Transmissor e receptor **desconhecem** a matriz **G**
- Como proceder? Através de **códigos matriciais** externos:
  - Limitar as possíveis entradas a um subconjunto  $\mathcal{X} \subseteq \mathbb{F}_q^{h \times m}$
  - Preço: redução da **taxa**
- Duas propostas:
  - Chou *et. al.*
  - Koetter & Kschischang

# Não-coerência

Chou *et. al.*

- Cabeçalho em cada vetor formando **matriz identidade**
- Palavras de  $\mathcal{X}$  são da forma

$$\mathbf{X} = \begin{bmatrix} 1 & 0 & 0 & \cdots & 0 & x'_{1,1} & x'_{1,2} & \cdots & x'_{1,(m-h)} \\ 0 & 1 & 0 & \cdots & 0 & x'_{2,1} & x'_{2,2} & \cdots & x'_{2,(m-h)} \\ \vdots & \vdots & \vdots & \ddots & \vdots & \vdots & \vdots & \ddots & \vdots \\ 0 & 0 & 0 & \cdots & 1 & x'_{h,1} & x'_{h,2} & \cdots & x'_{h,(m-h)} \end{bmatrix}$$

$$= [ \mathbf{I} \mid \mathbf{X}' ]$$

- Submatriz  $\mathbf{I}$ : estimar o "canal"
- Submatriz  $\mathbf{X}'$ : contém informação

# Não-coerência

Chou *et. al.*

- Cabeçalho em cada vetor formando **matriz identidade**
- Palavras de  $\mathcal{X}$  são da forma

$$\mathbf{X} = \begin{bmatrix} 1 & 0 & 0 & \cdots & 0 & x'_{1,1} & x'_{1,2} & \cdots & x'_{1,(m-h)} \\ 0 & 1 & 0 & \cdots & 0 & x'_{2,1} & x'_{2,2} & \cdots & x'_{2,(m-h)} \\ \vdots & \vdots & \vdots & \ddots & \vdots & \vdots & \vdots & \ddots & \vdots \\ 0 & 0 & 0 & \cdots & 1 & x'_{h,1} & x'_{h,2} & \cdots & x'_{h,(m-h)} \end{bmatrix}$$

$$= [ \mathbf{I} \mid \mathbf{X}' ]$$

- Submatriz  $\mathbf{I}$ : **estimar o "canal"**
- Submatriz  $\mathbf{X}'$ : **contém informação**

# Não-coerência

Chou *et. al.*

- Cabeçalho em cada vetor formando **matriz identidade**
- Palavras de  $\mathcal{X}$  são da forma

$$\mathbf{X} = \begin{bmatrix} 1 & 0 & 0 & \cdots & 0 & x'_{1,1} & x'_{1,2} & \cdots & x'_{1,(m-h)} \\ 0 & 1 & 0 & \cdots & 0 & x'_{2,1} & x'_{2,2} & \cdots & x'_{2,(m-h)} \\ \vdots & \vdots & \vdots & \ddots & \vdots & \vdots & \vdots & \ddots & \vdots \\ 0 & 0 & 0 & \cdots & 1 & x'_{h,1} & x'_{h,2} & \cdots & x'_{h,(m-h)} \end{bmatrix}$$

$$= [ \mathbf{I} \mid \mathbf{X}' ]$$

- Submatriz  $\mathbf{I}$ : **estimar o “canal”**
- Submatriz  $\mathbf{X}'$ : contém informação

# Não-coerência

Chou *et. al.*

- Cabeçalho em cada vetor formando **matriz identidade**
- Palavras de  $\mathcal{X}$  são da forma

$$\mathbf{X} = \begin{bmatrix} 1 & 0 & 0 & \cdots & 0 & x'_{1,1} & x'_{1,2} & \cdots & x'_{1,(m-h)} \\ 0 & 1 & 0 & \cdots & 0 & x'_{2,1} & x'_{2,2} & \cdots & x'_{2,(m-h)} \\ \vdots & \vdots & \vdots & \ddots & \vdots & \vdots & \vdots & \ddots & \vdots \\ 0 & 0 & 0 & \cdots & 1 & x'_{h,1} & x'_{h,2} & \cdots & x'_{h,(m-h)} \end{bmatrix}$$

$$= [ \mathbf{I} \mid \mathbf{X}' ]$$

- Submatriz  $\mathbf{I}$ : **estimar o “canal”**
- Submatriz  $\mathbf{X}'$ : **contém informação**

# Não-coerência

Chou *et. al.*

$$\mathbf{X} = [ \mathbf{I} \mid \mathbf{X}' ] \longrightarrow \boxed{\mathbf{G}} \longrightarrow \mathbf{Y} = [ \mathbf{G} \mid \mathbf{G} \cdot \mathbf{X}' ]$$

- Receptor consegue descobrir a matriz  $\mathbf{G}$
- Dos  $hm$  símbolos,  $h^2$  não carregam informação

## Taxa

$$R(\mathcal{X}) = \frac{hm - h^2}{hm} = 1 - \frac{h}{m}$$

# Não-coerência

Chou *et. al.*

$$\mathbf{X} = [ \mathbf{I} \mid \mathbf{X}' ] \longrightarrow \boxed{\mathbf{G}} \longrightarrow \mathbf{Y} = [ \mathbf{G} \mid \mathbf{G} \cdot \mathbf{X}' ]$$

- Receptor consegue descobrir a matriz  $\mathbf{G}$
- Dos  $hm$  símbolos,  $h^2$  não carregam informação

## Taxa

$$R(\mathcal{X}) = \frac{hm - h^2}{hm} = 1 - \frac{h}{m}$$

# Não-coerência

Chou *et. al.*

$$\mathbf{X} = [ \mathbf{I} \mid \mathbf{X}' ] \longrightarrow \boxed{\mathbf{G}} \longrightarrow \mathbf{Y} = [ \mathbf{G} \mid \mathbf{G} \cdot \mathbf{X}' ]$$

- Receptor consegue descobrir a matriz  $\mathbf{G}$
- Dos  $hm$  símbolos,  $h^2$  não carregam informação

## Taxa

$$R(\mathcal{X}) = \frac{hm - h^2}{hm} = 1 - \frac{h}{m}$$

# Não-coerência

Chou *et. al.*

$$\mathbf{X} = [ \mathbf{I} \mid \mathbf{X}' ] \longrightarrow \boxed{\mathbf{G}} \longrightarrow \mathbf{Y} = [ \mathbf{G} \mid \mathbf{G} \cdot \mathbf{X}' ]$$

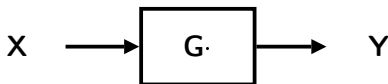
- Receptor consegue descobrir a matriz  $\mathbf{G}$
- Dos  $hm$  símbolos,  $h^2$  não carregam informação

## Taxa

$$R(\mathcal{X}) = \frac{hm - h^2}{hm} = 1 - \frac{h}{m}$$

# Não-coerência

Koetter & Kschischang



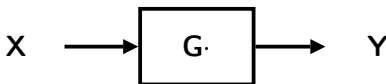
- Subespaço vetorial gerado pelas linhas de  $X$  é preservado:

$$\langle Y \rangle = \langle X \rangle$$

- Ideia: codificar informação em subespaços

# Não-coerência

Koetter & Kschischang



- Subespaço vetorial gerado pelas linhas de  $X$  é preservado:

$$\langle Y \rangle = \langle X \rangle$$

- Ideia: codificar informação em subespaços

# Não-coerência

Koetter & Kschischang



## Coeficiente binomial gaussiano

$$\binom{m}{k}_q = \prod_{i=0}^{k-1} \frac{q^m - q^i}{q^k - q^i}$$

Mede o número de subespaços  $k$ -dimensionais de  $\mathbb{F}_q^m$

## Taxa

$$R(\mathcal{X}) = \frac{1}{hm} \log_q \sum_{k=0}^h \binom{m}{k}_q$$

# Não-coerência

Koetter & Kschischang



## Coeficiente binomial gaussiano

$$\binom{m}{k}_q = \prod_{i=0}^{k-1} \frac{q^m - q^i}{q^k - q^i}$$

Mede o número de subespaços  $k$ -dimensionais de  $\mathbb{F}_q^m$

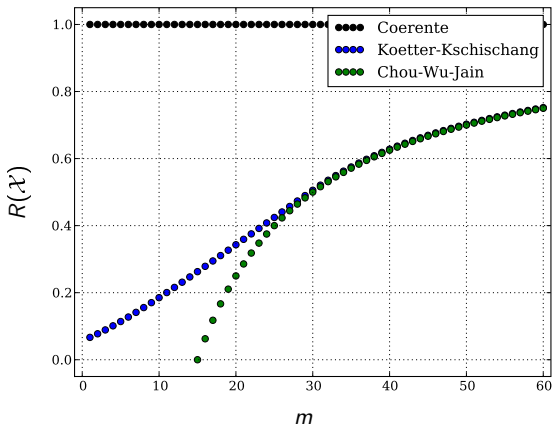
## Taxa

$$R(\mathcal{X}) = \frac{1}{hm} \log_q \sum_{k=0}^h \binom{m}{k}_q$$

# Não-coerência

## Comparação entre os métodos

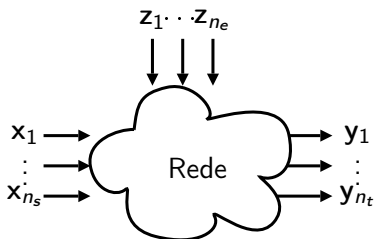
Curvas para  $q = 2$  e  $h = 15$



# Controle de erros

## Modelo da rede com erros

São injetados  $n_e$  vetores de erro



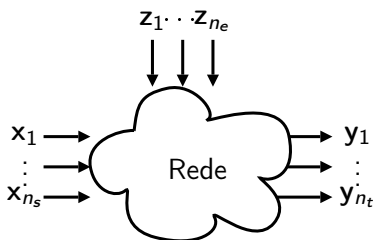
Matriz de erros:

$$Z = \left[ \begin{array}{ccc} \leftarrow & z_1 & \rightarrow \\ & \vdots & \\ \leftarrow & z_{n_e} & \rightarrow \end{array} \right]_{n_e \times m}$$

# Controle de erros

## Modelo da rede com erros

São injetados  $n_e$  vetores de erro

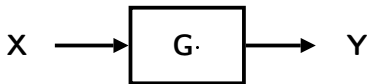


Matriz de erros:

$$\mathbf{Z} = \left[ \begin{array}{ccc} \leftarrow & \mathbf{z}_1 & \rightarrow \\ & \vdots & \\ \leftarrow & \mathbf{z}_{n_e} & \rightarrow \end{array} \right]_{n_e \times m}$$

# Controle de erros

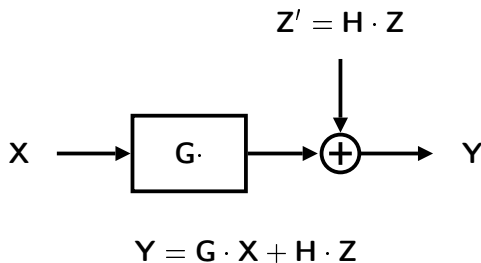
## Modelo da rede com erros



$$Y = G \cdot X$$

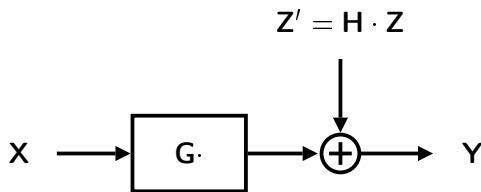
# Controle de erros

## Modelo da rede com erros



# Controle de erros

## Modelo da rede com erros

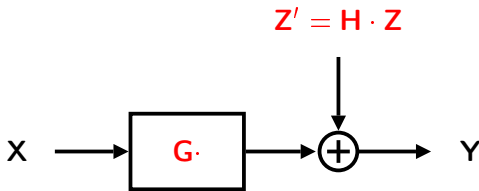


$$Y = G \cdot X + H \cdot Z$$

- Será considerado o caso **não-coerente**

# Controle de erros

Modelo adversário: caso não-coerente

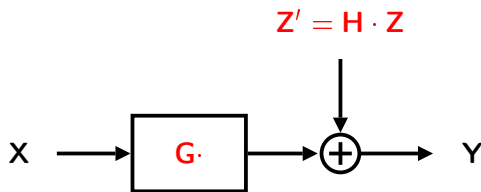


$$Y = G \cdot X + H \cdot Z$$

- Fonte e destino **desconhecem**  $G$ ,  $H$  e  $Z$
- Adversário conhece  $X$  e **escolhe**  $G$ ,  $H$  e  $Z$
- $n_e$  é limitado por  $\tau$  e  $\text{rankdef } G$  é limitada por  $\rho$

# Controle de erros

Modelo adversário: caso não-coerente

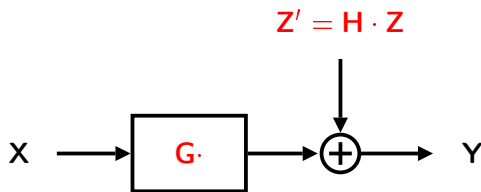


$$Y = G \cdot X + H \cdot Z$$

- Fonte e destino **desconhecem**  $G$ ,  $H$  e  $Z$
- Adversário conhece  $X$  e **escolhe**  $G$ ,  $H$  e  $Z$
- $n_e$  é limitado por  $\tau$  e rankdef  $G$  é limitada por  $\rho$

# Controle de erros

Modelo adversário: caso não-coerente

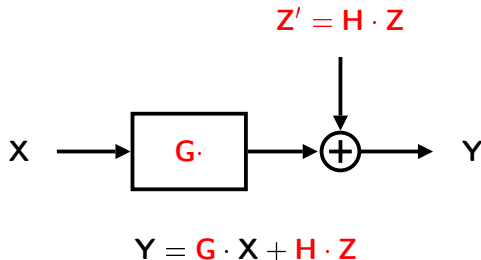


$$Y = G \cdot X + H \cdot Z$$

- Fonte e destino **desconhecem**  $G$ ,  $H$  e  $Z$
- Adversário conhece  $X$  e **escolhe**  $G$ ,  $H$  e  $Z$
- $n_e$  é limitado por  $\tau$  e rankdef  $G$  é limitada por  $\rho$

# Controle de erros

Modelo adversário: caso não-coerente

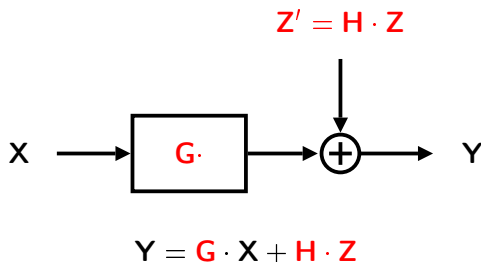


## Problemas

- Erros nos canais de transmissão ( $Z'$  com  $\tau \neq 0$ )
- Código de rede infeliz e perda de pacotes ( $G$  com  $\rho \neq 0$ )

# Controle de erros

Modelo adversário: caso não-coerente



## Solução

- Códigos de subespaço: transmitir um subconjunto de subespaços

# Codificação de Subespaço

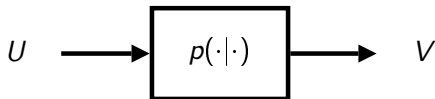
# Canal de subespaço

## Definição

### Definição

O canal de subespaço é um “DMC” dado por

$$(\mathcal{P}(\mathbb{F}_q^m), p(\cdot|\cdot), \mathcal{P}(\mathbb{F}_q^m))$$



### Notação

Espaço projetivo  $\mathcal{P}(\mathbb{F}_q^m)$ : conjunto de todos os subespaços de  $\mathbb{F}_q^m$

Abordagem: teoria da codificação vs teoria da informação

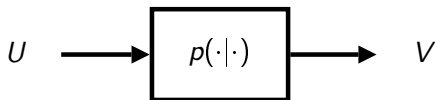
# Canal de subespaço

## Definição

### Definição

O canal de subespaço é um “DMC” dado por

$$(\mathcal{P}(\mathbb{F}_q^m), p(\cdot|\cdot), \mathcal{P}(\mathbb{F}_q^m))$$



### Notação

Espaço projetivo  $\mathcal{P}(\mathbb{F}_q^m)$ : conjunto de todos os subespaços de  $\mathbb{F}_q^m$

Abordagem: teoria da codificação vs ~~teoria da informação~~

# Distância de subespaço

## Diagrama de Hasse

Mede o número mínimo de **remoções** e **inserções** de dimensões

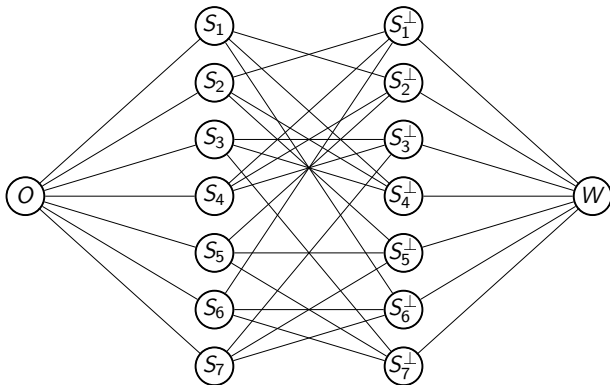
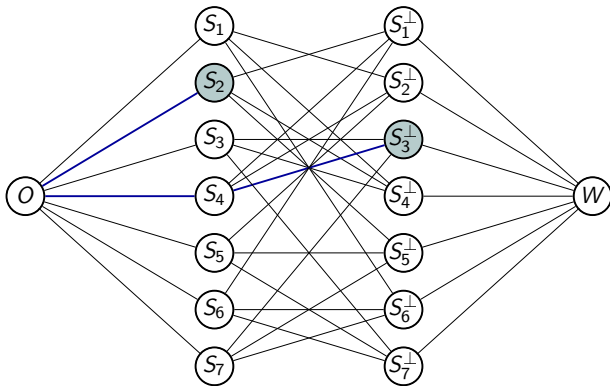


Diagrama de Hasse de  $\mathcal{P}(\mathbb{F}_2^3)$

# Distância de subespaço

## Diagrama de Hasse

Mede o número mínimo de **remoções** e **inserções** de dimensões

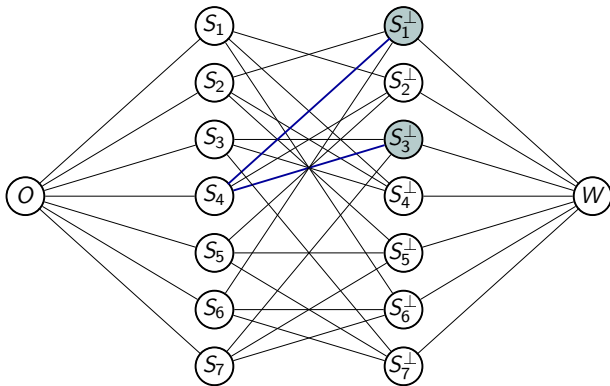


$$d_S(S_2, S_3^\perp) = 3$$

# Distância de subespaço

## Diagrama de Hasse

Mede o número mínimo de **remoções** e **inserções** de dimensões



$$d_S(S_1^\perp, S_3^\perp) = 2$$

# Distância de subespaço

## Definição algébrica

### Definição

A distância de subespaço é dada por

$$d_S(V_1, V_2) = \dim(V_1 + V_2) - \dim(V_1 \cap V_2)$$

### Teorema

$d_S(\cdot, \cdot)$  é uma métrica em  $\mathcal{P}(\mathbb{F}_q^m)$

# Distância de subespaço

## Definição algébrica

### Definição

A distância de subespaço é dada por

$$d_S(V_1, V_2) = \dim(V_1 + V_2) - \dim(V_1 \cap V_2)$$

### Teorema

$d_S(\cdot, \cdot)$  é uma métrica em  $\mathcal{P}(\mathbb{F}_q^m)$

# Códigos de subespaço

## Citações

### Citação

*“Dado um **espaço métrico**, é possível definir **códigos**.”*

— Etzion & Vardy

### Citação

*“Assim como o **hipercubo de Hamming** é apropriado no contexto dos **códigos corretores de erro ‘clássicos’**, o **diagrama de Hasse** é apropriado para o **controle de erros em codificação de rede não coerente**.”*

— Koetter & Kschischang

# Códigos de subespaço

## Citações

### Citação

*“Dado um **espaço métrico**, é possível definir **códigos**.”*

— Etzion & Vardy

### Citação

*“Assim como o **hipercubo de Hamming** é apropriado no contexto dos **códigos corretores de erro ‘clássicos’**, o **diagrama de Hasse** é apropriado para o **controle de erros em codificação de rede não coerente**.”*

— Koetter & Kschischang

# Códigos de subespaço

## Definição e parâmetros

### Definição

Um código de subespaço  $\mathcal{C}$  é um subconjunto não vazio de  $\mathcal{P}(\mathbb{F}_q^m)$

### Definição

A cardinalidade (tamanho) do código  $\mathcal{C}$  é dada por  $|\mathcal{C}|$

### Definição

A distância mínima do código  $\mathcal{C}$  é dada por

$$d_S(\mathcal{C}) = \min_{V \neq U} d_S(V, U)$$

# Códigos de subespaço

## Definição e parâmetros

### Definição

Um **código de subespaço**  $\mathcal{C}$  é um subconjunto não vazio de  $\mathcal{P}(\mathbb{F}_q^m)$

### Definição

A **cardinalidade** (tamanho) do código  $\mathcal{C}$  é dada por  $|\mathcal{C}|$

### Definição

A **distância mínima** do código  $\mathcal{C}$  é dada por

$$d_S(\mathcal{C}) = \min_{V \neq U} d_S(V, U)$$

# Códigos de subespaço

## Definição e parâmetros

### Definição

Um **código de subespaço**  $\mathcal{C}$  é um subconjunto não vazio de  $\mathcal{P}(\mathbb{F}_q^m)$

### Definição

A **cardinalidade** (tamanho) do código  $\mathcal{C}$  é dada por  $|\mathcal{C}|$

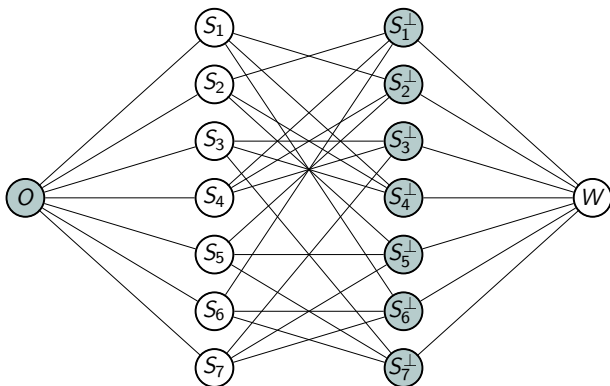
### Definição

A **distância mínima** do código  $\mathcal{C}$  é dada por

$$d_S(\mathcal{C}) = \min_{V \neq U} d_S(V, U)$$

# Códigos de subespaço

## Exemplo



$$|\mathcal{C}| = 8 \text{ e } d_S(\mathcal{C}) = 2$$

# Códigos de subespaço

Compromisso entre taxa e capacidade de correção

- Cardinalidade  $|\mathcal{C}|$ : determina a taxa de informação
- Distância mínima  $d_S(\mathcal{C})$ : determina a capacidade de correção
- Objetivos conflitantes: maximizar ambos

## Pergunta natural

Qual a maior cardinalidade dada uma certa distância mínima?

R: Não existe fórmula exata

# Códigos de subespaço

Compromisso entre taxa e capacidade de correção

- Cardinalidade  $|\mathcal{C}|$ : determina a taxa de informação
- Distância mínima  $d_S(\mathcal{C})$ : determina a capacidade de correção
- Objetivos conflitantes: maximizar ambos

## Pergunta natural

Qual a maior cardinalidade dada uma certa distância mínima?

R: Não existe fórmula exata

# Códigos de subespaço

Compromisso entre taxa e capacidade de correção

- Cardinalidade  $|\mathcal{C}|$ : determina a taxa de informação
- Distância mínima  $d_S(\mathcal{C})$ : determina a capacidade de correção
- Objetivos conflitantes: maximizar ambos

## Pergunta natural

Qual a maior cardinalidade dada uma certa distância mínima?

R: Não existe fórmula exata

# Códigos de subespaço

Compromisso entre taxa e capacidade de correção

- Cardinalidade  $|\mathcal{C}|$ : determina a taxa de informação
- Distância mínima  $d_S(\mathcal{C})$ : determina a capacidade de correção
- Objetivos conflitantes: maximizar ambos

## Pergunta natural

Qual a maior cardinalidade dada uma certa distância mínima?

R: Não existe fórmula exata

# Códigos de subespaço

Compromisso entre taxa e capacidade de correção

- Cardinalidade  $|\mathcal{C}|$ : determina a taxa de informação
- Distância mínima  $d_S(\mathcal{C})$ : determina a capacidade de correção
- Objetivos conflitantes: maximizar ambos

## Pergunta natural

Qual a maior cardinalidade dada uma certa distância mínima?

R: Não existe fórmula exata

# Limitantes

- Determinam regiões no plano  $|\mathcal{C}| \times d_S(\mathcal{C})$  que asseguram a **existência** ou a **inexistência** de códigos
- São particularizados limitantes válidos para quaisquer espaços métricos

# Limitantes

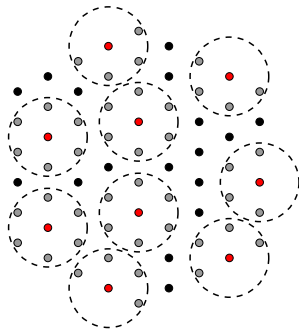
Digressão: limitante superior de Hamming

Empacota esferas disjuntas no espaço métrico  $\mathcal{M}$

## Teorema

Para todo código  $\mathcal{C} \subseteq \mathcal{M}$  com distância mínima  $d$  vale

$$|\mathcal{C}| \leq \frac{|\mathcal{M}|}{\text{Vol}_{\min} \left( \lfloor \frac{d-1}{2} \rfloor \right)}$$



# Limitantes

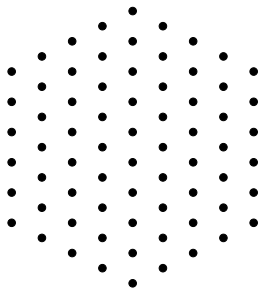
Digressão: limitante inferior de Gilbert-Varshamov

Cobre todo o espaço métrico  $\mathcal{M}$  com esferas

## Teorema

Existe código  $\mathcal{C} \subseteq \mathcal{M}$  com distância mínima  $d$  tal que

$$|\mathcal{C}| \geq \frac{|\mathcal{M}|}{\text{Vol}_{\max}(d-1)}$$



# Limitantes

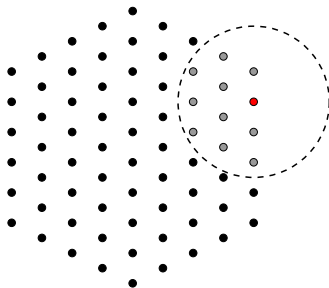
Digressão: limitante inferior de Gilbert-Varshamov

Cobre todo o espaço métrico  $\mathcal{M}$  com esferas

## Teorema

Existe código  $\mathcal{C} \subseteq \mathcal{M}$  com distância mínima  $d$  tal que

$$|\mathcal{C}| \geq \frac{|\mathcal{M}|}{\text{Vol}_{\max}(d-1)}$$



# Limitantes

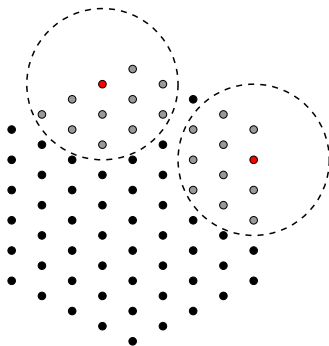
Digressão: limitante inferior de Gilbert-Varshamov

Cobre todo o espaço métrico  $\mathcal{M}$  com esferas

## Teorema

Existe código  $\mathcal{C} \subseteq \mathcal{M}$  com distância mínima  $d$  tal que

$$|\mathcal{C}| \geq \frac{|\mathcal{M}|}{\text{Vol}_{\max}(d-1)}$$



# Limitantes

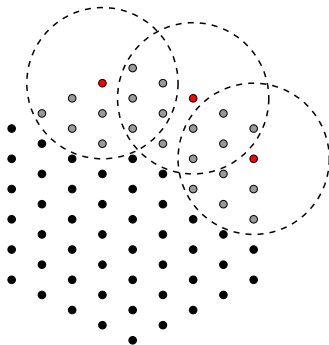
Digressão: limitante inferior de Gilbert-Varshamov

Cobre todo o espaço métrico  $\mathcal{M}$  com esferas

## Teorema

Existe código  $\mathcal{C} \subseteq \mathcal{M}$  com distância mínima  $d$  tal que

$$|\mathcal{C}| \geq \frac{|\mathcal{M}|}{\text{Vol}_{\max}(d-1)}$$



# Limitantes

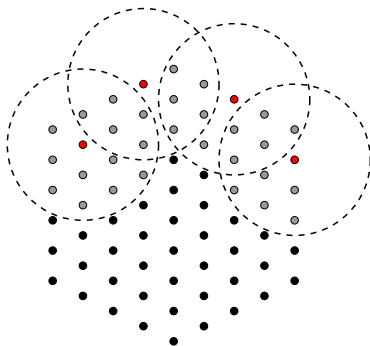
Digressão: limitante inferior de Gilbert-Varshamov

Cobre todo o espaço métrico  $\mathcal{M}$  com esferas

## Teorema

Existe código  $\mathcal{C} \subseteq \mathcal{M}$  com distância mínima  $d$  tal que

$$|\mathcal{C}| \geq \frac{|\mathcal{M}|}{\text{Vol}_{\max}(d-1)}$$



# Limitantes

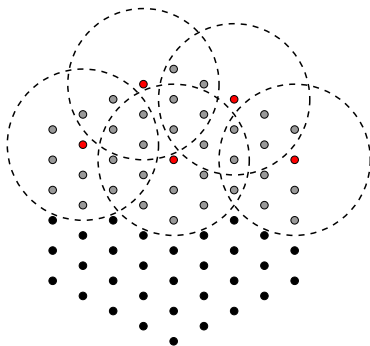
Digressão: limitante inferior de Gilbert-Varshamov

Cobre todo o espaço métrico  $\mathcal{M}$  com esferas

## Teorema

Existe código  $\mathcal{C} \subseteq \mathcal{M}$  com distância mínima  $d$  tal que

$$|\mathcal{C}| \geq \frac{|\mathcal{M}|}{\text{Vol}_{\max}(d-1)}$$



# Limitantes

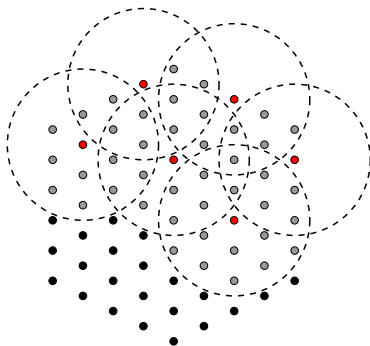
Digressão: limitante inferior de Gilbert-Varshamov

Cobre todo o espaço métrico  $\mathcal{M}$  com esferas

## Teorema

Existe código  $\mathcal{C} \subseteq \mathcal{M}$  com distância mínima  $d$  tal que

$$|\mathcal{C}| \geq \frac{|\mathcal{M}|}{\text{Vol}_{\max}(d-1)}$$



# Limitantes

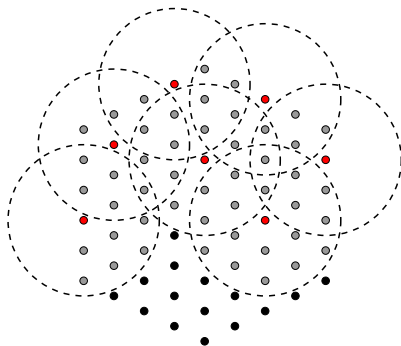
Digressão: limitante inferior de Gilbert-Varshamov

Cobre todo o espaço métrico  $\mathcal{M}$  com esferas

## Teorema

Existe código  $\mathcal{C} \subseteq \mathcal{M}$  com distância mínima  $d$  tal que

$$|\mathcal{C}| \geq \frac{|\mathcal{M}|}{\text{Vol}_{\max}(d-1)}$$



# Limitantes

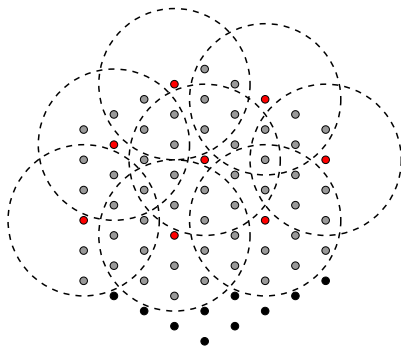
Digressão: limitante inferior de Gilbert-Varshamov

Cobre todo o espaço métrico  $\mathcal{M}$  com esferas

## Teorema

Existe código  $\mathcal{C} \subseteq \mathcal{M}$  com distância mínima  $d$  tal que

$$|\mathcal{C}| \geq \frac{|\mathcal{M}|}{\text{Vol}_{\max}(d-1)}$$



# Limitantes

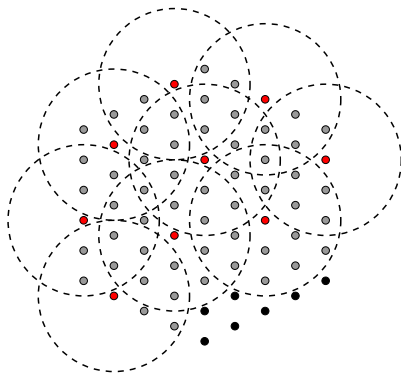
Digressão: limitante inferior de Gilbert-Varshamov

Cobre todo o espaço métrico  $\mathcal{M}$  com esferas

## Teorema

Existe código  $\mathcal{C} \subseteq \mathcal{M}$  com distância mínima  $d$  tal que

$$|\mathcal{C}| \geq \frac{|\mathcal{M}|}{\text{Vol}_{\max}(d-1)}$$



# Limitantes

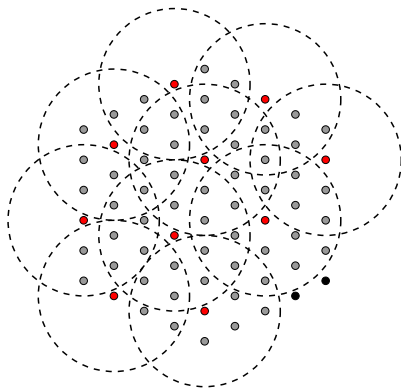
Digressão: limitante inferior de Gilbert-Varshamov

Cobre todo o espaço métrico  $\mathcal{M}$  com esferas

## Teorema

Existe código  $\mathcal{C} \subseteq \mathcal{M}$  com distância mínima  $d$  tal que

$$|\mathcal{C}| \geq \frac{|\mathcal{M}|}{\text{Vol}_{\max}(d-1)}$$



# Limitantes

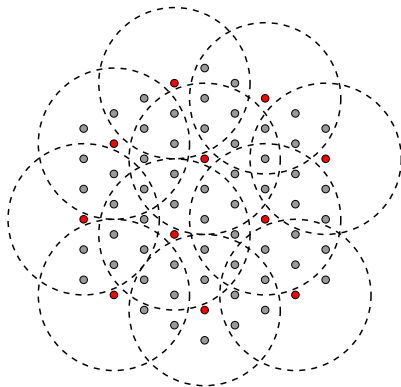
Digressão: limitante inferior de Gilbert-Varshamov

Cobre todo o espaço métrico  $\mathcal{M}$  com esferas

## Teorema

Existe código  $\mathcal{C} \subseteq \mathcal{M}$  com distância mínima  $d$  tal que

$$|\mathcal{C}| \geq \frac{|\mathcal{M}|}{\text{Vol}_{\max}(d-1)}$$



# Limitantes

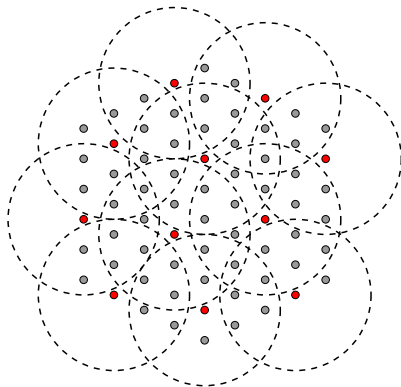
Digressão: limitante inferior **generalizado** de Gilbert-Varshamov

Resultado mais **forte**

## Teorema

Existe código  $\mathcal{C} \subseteq \mathcal{M}$  com distância mínima  $d$  tal que

$$|\mathcal{C}| \geq \frac{|\mathcal{M}|}{\text{Vol}_{\text{med}}(d-1)}$$



# Limitantes

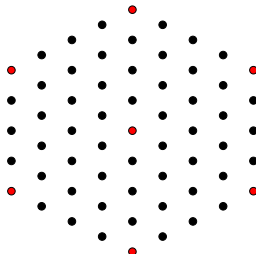
Digressão: limitante superior de Singleton

Puncionamento sucessivo de um código

Fato

Para o código  $\mathcal{C} \subseteq \mathcal{M}$  vale

$$|\mathcal{C}| \leq |\mathcal{M}_2|$$



$$\mathcal{C} \subseteq \mathcal{M}_0$$

Cardinalidade se mantém:  $|\mathcal{C}| = |\mathcal{C}^\nabla| = |\mathcal{C}^{\nabla\nabla}|$

# Limitantes

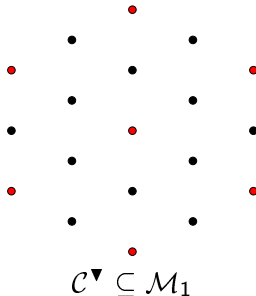
Digressão: limitante superior de Singleton

Puncionamento sucessivo de um código

Fato

Para o código  $\mathcal{C} \subseteq \mathcal{M}$  vale

$$|\mathcal{C}| \leq |\mathcal{M}_2|$$



Cardinalidade se mantém:  $|\mathcal{C}| = |\mathcal{C}^\nabla| = |\mathcal{C}^{\nabla\nabla}|$

# Limitantes

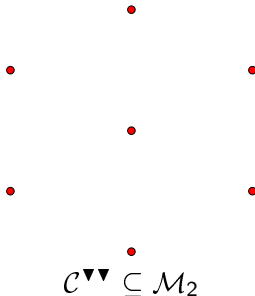
Digressão: limitante superior de Singleton

Puncionamento sucessivo de um código

## Fato

Para o código  $\mathcal{C} \subseteq \mathcal{M}$  vale

$$|\mathcal{C}| \leq |\mathcal{M}_2|$$

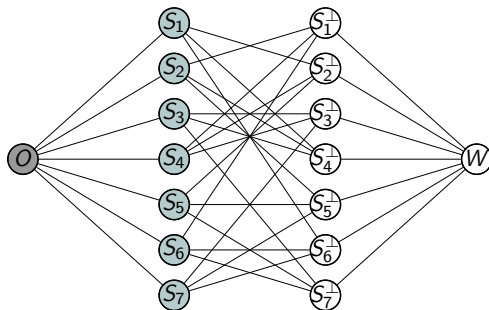


Cardinalidade se mantém:  $|\mathcal{C}| = |\mathcal{C}^{\vee}| = |\mathcal{C}^{\vee\vee}|$

# Limitantes

## Volume de esferas

- No espaço projetivo, o volume da esfera **depende do centro**
- Mas apenas da **dimensão do centro**

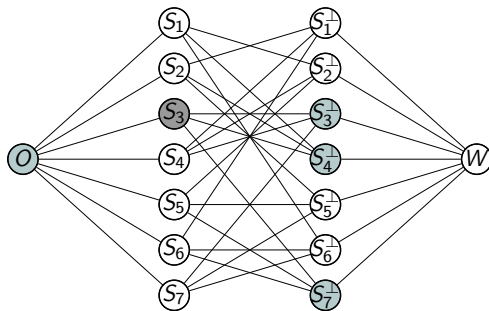


$$\text{Vol}(O, 1) = 8$$

# Limitantes

## Volume de esferas

- No espaço projetivo, o volume da esfera **depende do centro**
- Mas apenas da **dimensão do centro**

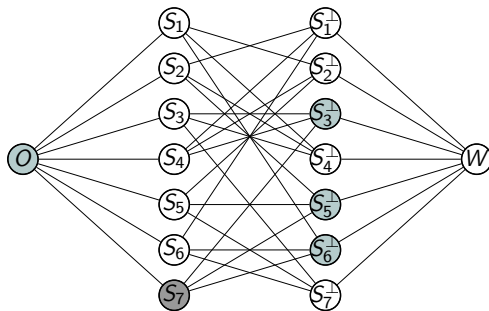


$$\text{Vol}(S_3, 1) = 5$$

# Limitantes

## Volume de esferas

- No espaço projetivo, o volume da esfera **depende do centro**
- Mas apenas da **dimensão** do centro



$$\text{Vol}(S_7, 1) = 5$$

# Limitantes

## Volume de esferas

### Teorema

O **volume** de uma esfera de centro  $V_0$  e raio  $r$  é

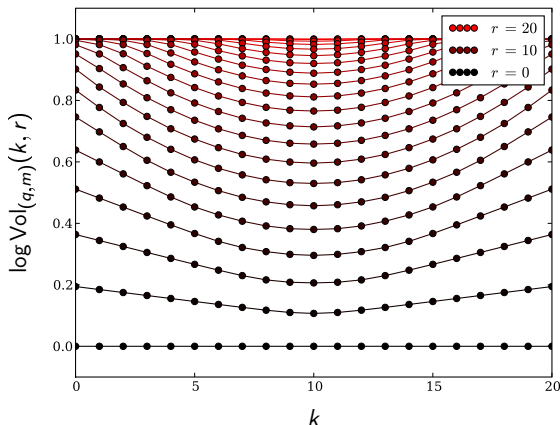
$$\text{Vol}_{(q,m)}(V_0, r) = \sum_{j=0}^r \sum_{i=0}^j \binom{m-k}{j-i}_q \binom{k}{i}_q q^{i(j-i)},$$

em que  $k = \dim V_0$ .

# Limitantes

## Volume de esferas

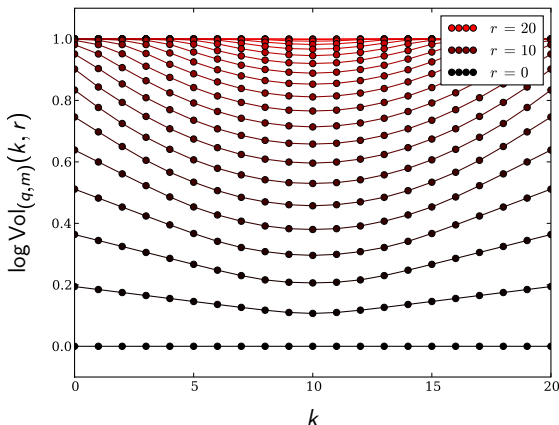
Volume é **simétrico** ao redor de  $k = \lfloor m/2 \rfloor$



# Limitantes

## Volume de esferas

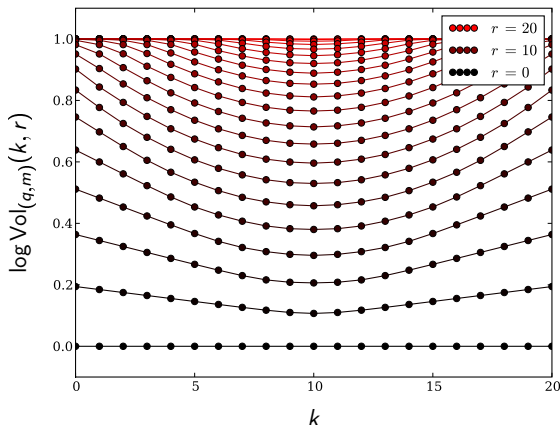
Volume **decrease** quando  $k$  varia de 0 a  $\lfloor m/2 \rfloor$



# Limitantes

## Volume de esferas

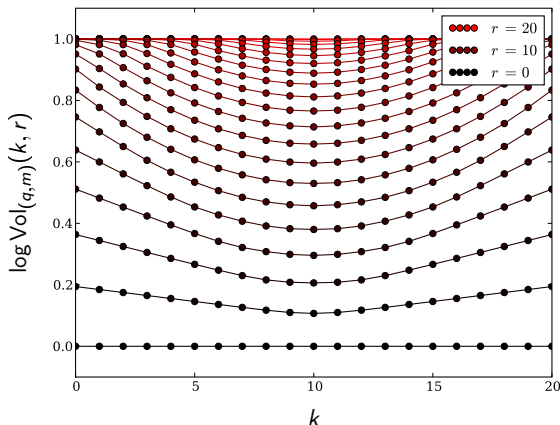
Volume *crece* quando  $k$  varia de  $\lfloor m/2 \rfloor$  a  $m$



# Limitantes

## Volume de esferas

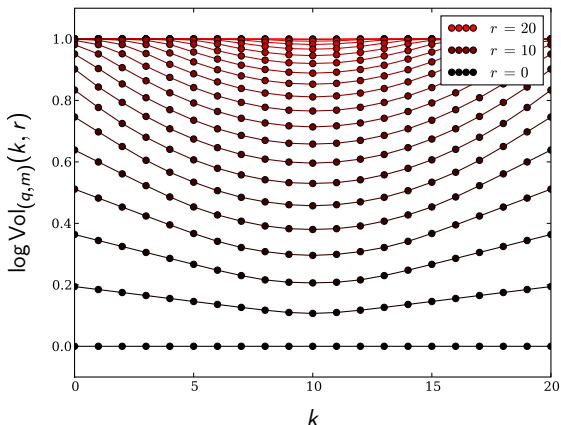
Volume é **mínimo** quando  $k = \lfloor m/2 \rfloor$



# Limitantes

## Volume de esferas

Volume é **máximo** quando  $k = 0$  ou  $m$



# Limitantes

## Puncionamento no espaço projetivo

### Definição

Puncionamento de um **vetor**:

$$\mathbf{v} = (v_1, v_2, \dots, v_{n-1}, v_n) \mapsto \mathbf{v}^\nabla = (v_1, v_2, \dots, v_{n-1}, \cancel{v_n})$$

### Definição

Puncionamento de um **subespaço**:

$$V = \{\mathbf{v}_1, \mathbf{v}_2, \mathbf{v}_3, \dots\} \mapsto V^\nabla = \{\mathbf{v}_1^\nabla, \mathbf{v}_2^\nabla, \mathbf{v}_3^\nabla, \dots\}$$

### Definição

Puncionamento de um **código**:

$$\mathcal{C} = \{V_1, V_2, V_3, \dots\} \mapsto \mathcal{C}^\nabla = \{V_1^\nabla, V_2^\nabla, V_3^\nabla, \dots\}$$

# Limitantes

## Puncionamento no espaço projetivo

### Definição

Puncionamento de um **vetor**:

$$\mathbf{v} = (v_1, v_2, \dots, v_{n-1}, v_n) \mapsto \mathbf{v}^\nabla = (v_1, v_2, \dots, v_{n-1}, \cancel{v_n})$$

### Definição

Puncionamento de um **subespaço**:

$$V = \{\mathbf{v}_1, \mathbf{v}_2, \mathbf{v}_3, \dots\} \mapsto V^\nabla = \{\mathbf{v}_1^\nabla, \mathbf{v}_2^\nabla, \mathbf{v}_3^\nabla, \dots\}$$

### Definição

Puncionamento de um **código**:

$$\mathcal{C} = \{V_1, V_2, V_3, \dots\} \mapsto \mathcal{C}^\nabla = \{V_1^\nabla, V_2^\nabla, V_3^\nabla, \dots\}$$

# Limitantes

## Puncionamento no espaço projetivo

### Definição

Puncionamento de um **vetor**:

$$\mathbf{v} = (v_1, v_2, \dots, v_{n-1}, v_n) \mapsto \mathbf{v}^\nabla = (v_1, v_2, \dots, v_{n-1}, \cancel{v_n})$$

### Definição

Puncionamento de um **subespaço**:

$$V = \{\mathbf{v}_1, \mathbf{v}_2, \mathbf{v}_3, \dots\} \mapsto V^\nabla = \{\mathbf{v}_1^\nabla, \mathbf{v}_2^\nabla, \mathbf{v}_3^\nabla, \dots\}$$

### Definição

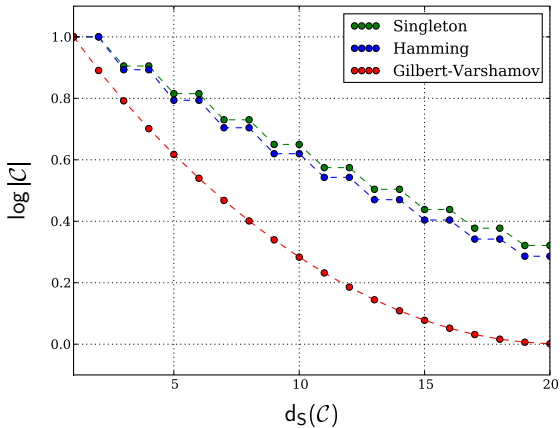
Puncionamento de um **código**:

$$\mathcal{C} = \{V_1, V_2, V_3, \dots\} \mapsto \mathcal{C}^\nabla = \{V_1^\nabla, V_2^\nabla, V_3^\nabla, \dots\}$$

# Limitantes

## Gráficos

Limitantes para  $q = 2$  e  $m = 20$



# Aplicação em codificação de rede

## Definições e taxa

Um código de subespaço dá origem a um código matricial:

$$\mathcal{C} \subseteq \mathcal{P}(\mathbb{F}_q^m) \quad \implies \quad \mathcal{X} \subseteq \mathbb{F}_q^{h \times m}$$

em que

$$h = \ell(\mathcal{C})$$

é **dimensão máxima** dos subespaços de  $\mathcal{C}$

### Fato

A taxa de  $\mathcal{X}$  é

$$R(\mathcal{X}) = \frac{\log_q |\mathcal{C}|}{m \cdot \ell(\mathcal{C})}$$

# Aplicação em codificação de rede

## Definições e taxa

Um código de subespaço dá origem a um código matricial:

$$\mathcal{C} \subseteq \mathcal{P}(\mathbb{F}_q^m) \quad \implies \quad \mathcal{X} \subseteq \mathbb{F}_q^{h \times m}$$

em que

$$h = \ell(\mathcal{C})$$

é **dimensão máxima** dos subespaços de  $\mathcal{C}$

### Fato

A taxa de  $\mathcal{X}$  é

$$R(\mathcal{X}) = \frac{\log_q |\mathcal{C}|}{m \cdot \ell(\mathcal{C})}$$

# Aplicação em codificação de rede

Capacidade de correção de erros

Seja  $\mathcal{C}$  um código de subespaço com  $d_S(\mathcal{C}) = d$

## Fato

$\mathcal{C}$  é bem-sucedido no canal de subespaço que comete até  $t$  erros *iff*

$$\left\lfloor \frac{d-1}{2} \right\rfloor \geq t$$

Seja  $\mathcal{X}$  um código matricial originário de  $\mathcal{C}$

## Teorema

$\mathcal{X}$  é bem-sucedido no canal matricial definido por  $(\rho, \tau)$  se

$$\left\lfloor \frac{d-1}{2} \right\rfloor \geq \rho + 2\tau$$

# Aplicação em codificação de rede

Capacidade de correção de erros

Seja  $\mathcal{C}$  um código de subespaço com  $d_S(\mathcal{C}) = d$

## Fato

$\mathcal{C}$  é bem-sucedido no canal de subespaço que comete até  $t$  erros *iff*

$$\left\lfloor \frac{d-1}{2} \right\rfloor \geq t$$

Seja  $\mathcal{X}$  um código matricial originário de  $\mathcal{C}$

## Teorema

$\mathcal{X}$  é bem-sucedido no canal matricial definido por  $(\rho, \tau)$  se

$$\left\lfloor \frac{d-1}{2} \right\rfloor \geq \rho + 2\tau$$

# Aplicação em codificação de rede

Capacidade de correção de erros

Seja  $\mathcal{C}$  um código de subespaço com  $d_S(\mathcal{C}) = d$

## Fato

$\mathcal{C}$  é bem-sucedido no canal de subespaço que comete até  $t$  erros *iff*

$$\left\lfloor \frac{d-1}{2} \right\rfloor \geq t$$

Seja  $\mathcal{X}$  um código matricial originário de  $\mathcal{C}$

## Teorema

$\mathcal{X}$  é bem-sucedido no canal matricial definido por  $(\rho, \tau)$  se

$$\left\lfloor \frac{d-1}{2} \right\rfloor \geq \rho + 2\tau$$

# Aplicação em codificação de rede

Capacidade de correção de erros

Seja  $\mathcal{C}$  um código de subespaço com  $d_S(\mathcal{C}) = d$

## Fato

$\mathcal{C}$  é bem-sucedido no canal de subespaço que comete até  $t$  erros *iff*

$$\left\lfloor \frac{d-1}{2} \right\rfloor \geq t$$

Seja  $\mathcal{X}$  um código matricial originário de  $\mathcal{C}$

## Teorema

$\mathcal{X}$  é bem-sucedido no canal matricial definido por  $(\rho, \tau)$  se

$$\left\lfloor \frac{d-1}{2} \right\rfloor \geq \rho + 2\tau$$

# Codificação de Subespaço Multishot

# Ideia e proposta

## Ideia

Utilizar o canal de subespaço **repetidas vezes**

## Proposta

Códigos de bloco—transmitir **seqüências** de  $n$  subespaços:

$$\mathbf{V} = (V_1, \dots, V_n)$$

# Ideia e proposta

## Ideia

Utilizar o canal de subespaço **repetidas vezes**

## Proposta

Códigos de bloco—transmitir **sequências** de  $n$  subespaços:

$$\mathbf{V} = (V_1, \dots, V_n)$$

# Justificativa

Por que usar códigos *multishot*?

- Se os parâmetros do sistema são **imutáveis**
  - Para aumentar a taxa ou a capacidade de correção é necessário aumentar  $q$  ou  $m$
- Se a topologia da rede varia rapidamente
  - Tempo de coerência da rede é reduzido
  - Matriz  $\mathbf{G}$  não permanece constante por muito tempo
- Complexidade computacional

# Justificativa

Por que usar códigos *multishot*?

- Se os parâmetros do sistema são **imutáveis**
  - Para aumentar a taxa ou a capacidade de correção é necessário aumentar  $q$  ou  $m$
- Se a topologia da rede varia **rapidamente**
  - **Tempo de coerência** da rede é reduzido
  - Matriz  $\mathbf{G}$  não permanece constante por muito tempo
- Complexidade computacional

# Justificativa

Por que usar códigos *multishot*?

- Se os parâmetros do sistema são **imutáveis**
  - Para aumentar a taxa ou a capacidade de correção é necessário aumentar  $q$  ou  $m$
- Se a topologia da rede varia **rapidamente**
  - **Tempo de coerência** da rede é reduzido
  - Matriz  $\mathbf{G}$  não permanece constante por muito tempo
- Complexidade computacional

# Construção de um espaço métrico

## Definições

### Definição

Extensão do espaço projetivo:

$$\mathcal{P}(\mathbb{F}_q^m)^n = \mathcal{P}(\mathbb{F}_q^m) \times \cdots \times \mathcal{P}(\mathbb{F}_q^m)$$

### Definição

Distância de subespaço estendida:

$$d_S(\mathbf{V}, \mathbf{U}) = d_S(V_1, U_1) + \cdots + d_S(V_n, U_n)$$

# Construção de um espaço métrico

## Definições

### Definição

Extensão do espaço projetivo:

$$\mathcal{P}(\mathbb{F}_q^m)^n = \mathcal{P}(\mathbb{F}_q^m) \times \cdots \times \mathcal{P}(\mathbb{F}_q^m)$$

### Definição

Distância de subespaço estendida:

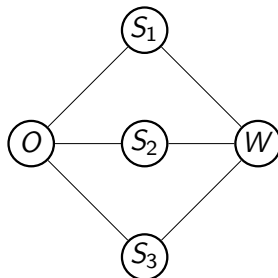
$$d_S(\mathbf{V}, \mathbf{U}) = d_S(V_1, U_1) + \cdots + d_S(V_n, U_n)$$

# Exemplo motivacional

## Objetivo

### Objetivo

Códigos *multishot* sobre  $\mathcal{P}(\mathbb{F}_2^2)$  utilizando o canal 2 vezes e capazes de detectar 1 erro ( $d = 2$ )



$$O = \{00\}$$

$$S_1 = \{00, 01\}$$

$$S_2 = \{00, 10\}$$

$$S_3 = \{00, 11\}$$

$$W = \{00, 01, 10, 11\}$$

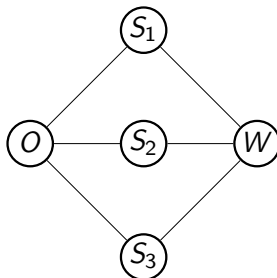
A seguir: três propostas

# Exemplo motivacional

## Objetivo

### Objetivo

Códigos *multishot* sobre  $\mathcal{P}(\mathbb{F}_2^2)$  utilizando o canal 2 vezes e capazes de detectar 1 erro ( $d = 2$ )



$$O = \{00\}$$

$$S_1 = \{00, 01\}$$

$$S_2 = \{00, 10\}$$

$$S_3 = \{00, 11\}$$

$$W = \{00, 01, 10, 11\}$$

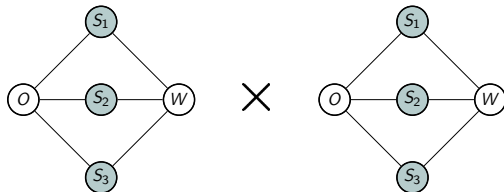
A seguir: três propostas

# Exemplo motivacional

## Proposta 1

### Proposta 1

Estender o melhor código 1-shot



$$\mathcal{C}_1 = \{S_1S_1, S_1S_2, S_1S_3, S_2S_1, S_2S_2, S_2S_3, S_3S_1, S_3S_2, S_3S_3\}$$

### Cardinalidade

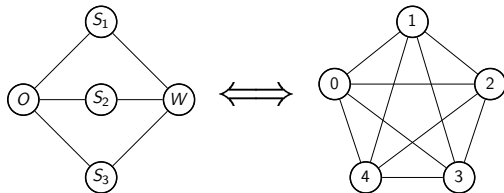
$$|\mathcal{C}_1| = 9$$

# Exemplo motivacional

## Proposta 2

### Proposta 2

Codificação clássica sobre o espaço projetivo



$$\mathcal{C}_2 = \{OO, S_1S_1, S_2S_2, S_3S_3, WW\}$$

### Cardinalidade

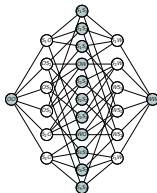
$$|\mathcal{C}_2| = 5$$

# Exemplo motivacional

## Proposta 3

### Proposta 3

Considerar o espaço métrico  $\mathcal{P}(\mathbb{F}_2^2)^2$



$$\mathcal{C}_3 = \{OO, S_1S_1, S_1S_2, S_1S_3, OW, \dots, S_3S_2, S_3S_3, WW\}$$

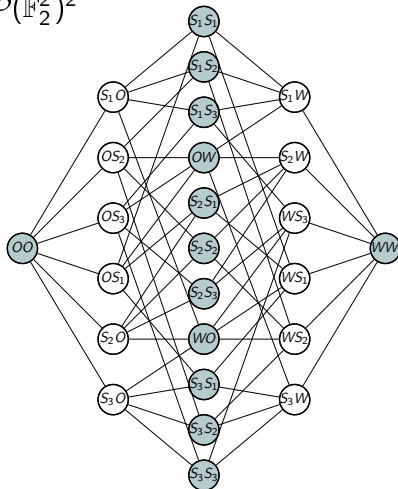
### Cardinalidade

$$|\mathcal{C}_3| = 13$$

# Exemplo motivacional

## Proposta 3

Espaço métrico  $\mathcal{P}(\mathbb{F}_2^2)^2$



# Relação com códigos de subespaço *one-shot*

## Resultados

### Fato

Códigos *1-shot* são um caso especial de códigos *n-shot*:  $n = 1$

Recíproca também é verdadeira

### Fato

Códigos *multishot* são um caso especial de códigos *1-shot*:

$$\mathcal{P}(\mathbb{F}_q^m)^n \subseteq \mathcal{P}(\mathbb{F}_q^{mn})$$

### Fato

Existe uma injeção de  $\mathcal{P}(\mathbb{F}_q^m)^n$  para  $\mathcal{P}(\mathbb{F}_q^{mn})$  que preserva distâncias

# Relação com códigos de subespaço *one-shot*

## Resultados

### Fato

Códigos *1-shot* são um caso especial de *códigos n-shot*:  $n = 1$

Recíproca também é verdadeira

### Fato

Códigos *multishot* são um caso especial de *códigos 1-shot*:

$$\mathcal{P}(\mathbb{F}_q^m)^n \subseteq \mathcal{P}(\mathbb{F}_q^{mn})$$

### Fato

Existe uma injeção de  $\mathcal{P}(\mathbb{F}_q^m)^n$  para  $\mathcal{P}(\mathbb{F}_q^{mn})$  que preserva distâncias

# Relação com códigos de subespaço *one-shot*

## Resultados

### Fato

Códigos *1-shot* são um caso especial de *códigos n-shot*:  $n = 1$

Recíproca também é verdadeira

### Fato

Códigos *multishot* são um caso especial de *códigos 1-shot*:

$$\mathcal{P}(\mathbb{F}_q^m)^n \subseteq \mathcal{P}(\mathbb{F}_q^{mn})$$

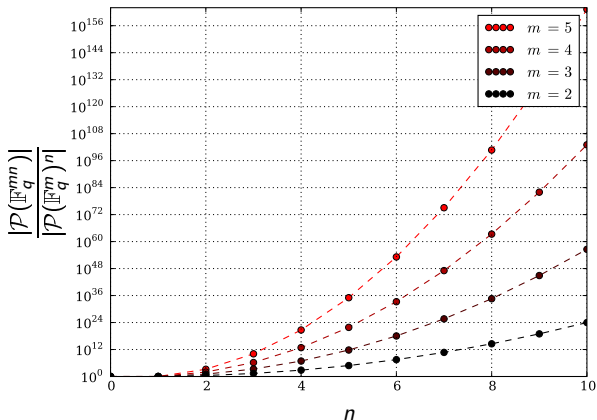
### Fato

Existe uma *injeção* de  $\mathcal{P}(\mathbb{F}_q^m)^n$  para  $\mathcal{P}(\mathbb{F}_q^{mn})$  que *preserva distâncias*

# Relação com códigos de subespaço *one-shot*

## Comparação entre os tamanhos

Para  $q = 2$



# Limitantes

- Mesmos limitantes do caso *one-shot*:
  - Hamming
  - Gilbert-Varshamov
  - Singleton

# Limitantes

## Esferas no espaço projetivo estendido

### Teorema

O volume de uma esfera de centro  $\mathbf{V}$  e raio  $r$  é

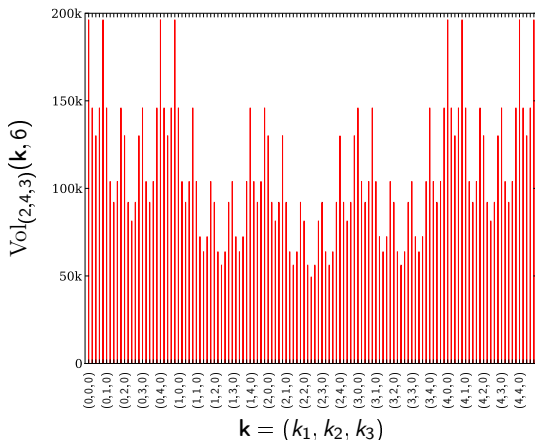
$$\text{Vol}_{(q,m,n)}(\mathbf{V}, r) = \sum_{j=0}^r \sum_{\substack{\mathbf{j} \in \{0, \dots, m\}^n \\ j_1 + \dots + j_n = j}} \prod_{i=1}^n \text{Vol}_{(q,m)}^{\text{Casca}}(k_i, j_i)$$

em que  $\mathbf{k} = (k_1, \dots, k_n) = (\dim V_1, \dots, \dim V_n)$ .

# Limitantes

Esferas no espaço projetivo estendido

Volume de esferas para  $q = 2$ ,  $m = 4$ ,  $n = 3$  e  $r = 6$



# Limitantes

## Puncionamento no espaço projetivo estendido

Dois puncionamentos naturais

### Puncionamento 1

Puncionamento de uma palavra-código:

$$\mathbf{V} = (V_1, V_2, \dots, V_{n-1}, V_n) \mapsto \mathbf{V}^{\nabla 1} = (V_1^{\nabla}, V_2^{\nabla}, \dots, V_{n-1}^{\nabla}, V_n^{\nabla})$$

### Puncionamento 2

Puncionamento de uma palavra-código:

$$\mathbf{V} = (V_1, V_2, \dots, V_{n-1}, V_n) \mapsto \mathbf{V}^{\nabla 2} = (V_1, V_2, \dots, V_{n-1}, \cancel{V_n})$$

# Limitantes

## Puncionamento no espaço projetivo estendido

Dois puncionamentos naturais

### Puncionamento 1

Puncionamento de uma palavra-código:

$$\mathbf{V} = (V_1, V_2, \dots, V_{n-1}, V_n) \mapsto \mathbf{V}^{\nabla 1} = (V_1^{\nabla}, V_2^{\nabla}, \dots, V_{n-1}^{\nabla}, V_n^{\nabla})$$

### Puncionamento 2

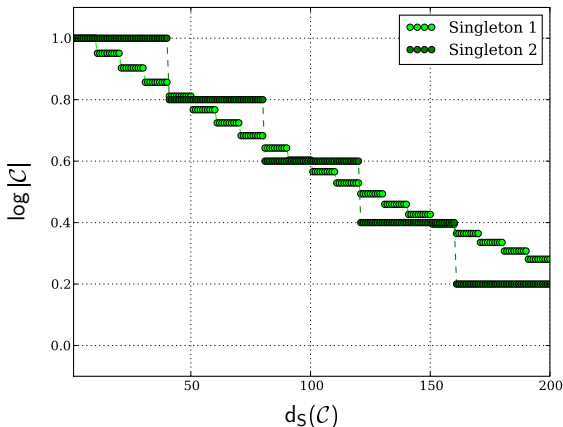
Puncionamento de uma palavra-código:

$$\mathbf{V} = (V_1, V_2, \dots, V_{n-1}, V_n) \mapsto \mathbf{V}^{\nabla 2} = (V_1, V_2, \dots, V_{n-1}, \cancel{V_n})$$

# Limitantes

Puncionamento no espaço projetivo estendido

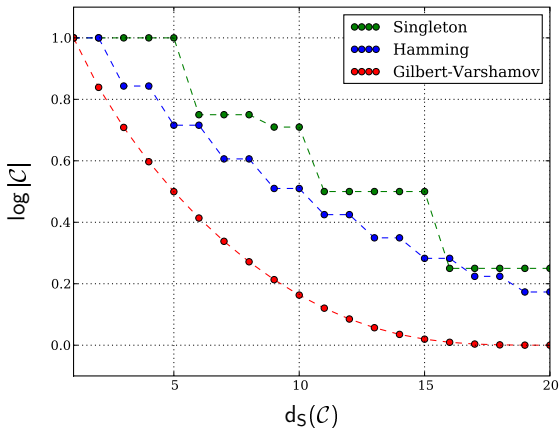
Limitantes de Singleton para  $q = 2$ ,  $m = 40$ ,  $n = 5$



# Limitantes

## Gráficos

Limitantes para  $q = 2$  e  $m = 5$ ,  $n = 4$



# Construção multinível

## Descrição do método

- Baseada em modulação codificada de bloco

### Entrada

- Particionamento  $L$ -nível
- Códigos componentes para garantir distância mínima desejada
- Dois exemplos

# Construção multinível

## Descrição do método

- Baseada em modulação codificada de bloco

### Entrada

- Particionamento  $L$ -nível
  - Códigos componentes para garantir distância mínima desejada
- 
- Dois exemplos

# Construção multinível

## Descrição do método

- Baseada em modulação codificada de bloco

### Entrada

- Particionamento  $L$ -nível
  - Códigos componentes para garantir distância mínima desejada
- 
- Dois exemplos

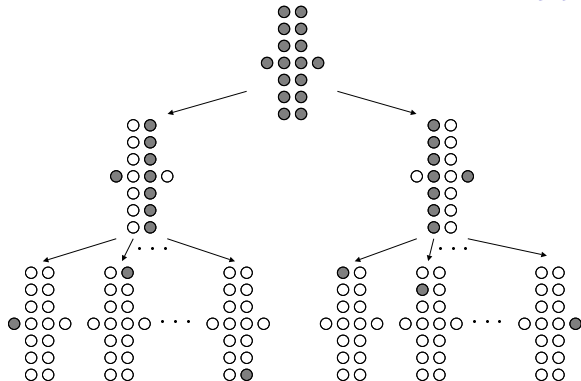
# Construção multinível

## Exemplo 1

### Objetivo

Código 3-shot  $\mathcal{C}_1$  sobre  $\mathcal{P}(\mathbb{F}_2^3)$  com  $d_S(\mathcal{C}_1) = 3$

Particionamento binível



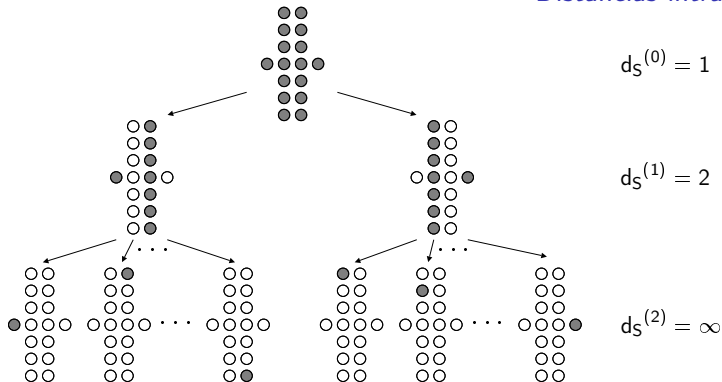
# Construção multinível

## Exemplo 1

### Objetivo

Código 3-shot  $\mathcal{C}_1$  sobre  $\mathcal{P}(\mathbb{F}_2^3)$  com  $d_S(\mathcal{C}_1) = 3$

Distâncias *intrasubset*



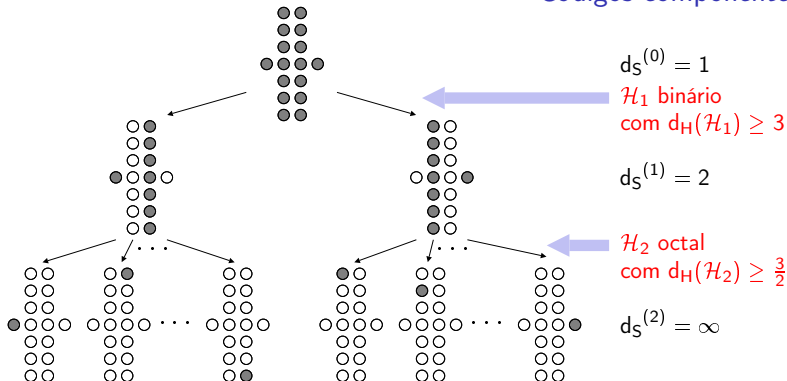
# Construção multinível

## Exemplo 1

### Objetivo

Código 3-shot  $\mathcal{C}_1$  sobre  $\mathcal{P}(\mathbb{F}_2^3)$  com  $d_S(\mathcal{C}_1) = 3$

### Códigos componentes



# Construção multinível

## Exemplo 1

### Código componente

Código de repetição:

$$\mathcal{H}_1 = \{000, 111\}$$

$$d_H(\mathcal{H}_1) = 3, \quad |\mathcal{H}_1| = 2$$

### Código componente

Código de paridade:

$$\mathcal{H}_2 = \{000, 017, 026, \dots, 772\}$$

$$d_H(\mathcal{H}_2) = 2, \quad |\mathcal{H}_2| = 64$$

### Combinações

$$\begin{bmatrix} 0 & 0 & 0 \\ 0 & 0 & 0 \end{bmatrix}, \begin{bmatrix} 0 & 0 & 0 \\ 0 & 1 & 7 \end{bmatrix}, \dots, \begin{bmatrix} 0 & 0 & 0 \\ 7 & 7 & 2 \end{bmatrix},$$

$$\begin{bmatrix} 1 & 1 & 1 \\ 0 & 0 & 0 \end{bmatrix}, \begin{bmatrix} 1 & 1 & 1 \\ 0 & 1 & 7 \end{bmatrix}, \dots, \begin{bmatrix} 1 & 1 & 1 \\ 7 & 7 & 2 \end{bmatrix}$$

# Construção multinível

## Exemplo 1

### Código componente

Código de repetição:

$$\mathcal{H}_1 = \{000, 111\}$$

$$d_H(\mathcal{H}_1) = 3, \quad |\mathcal{H}_1| = 2$$

### Código componente

Código de paridade:

$$\mathcal{H}_2 = \{000, 017, 026, \dots, 772\}$$

$$d_H(\mathcal{H}_2) = 2, \quad |\mathcal{H}_2| = 64$$

### Combinações

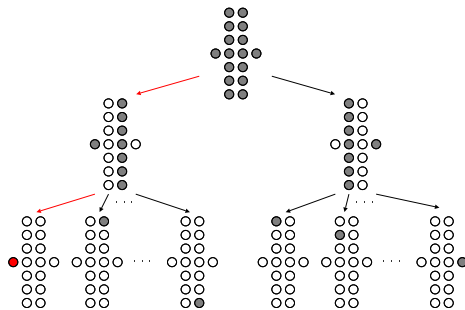
$$\begin{bmatrix} 0 & 0 & 0 \\ 0 & 0 & 0 \end{bmatrix}, \begin{bmatrix} 0 & 0 & 0 \\ 0 & 1 & 7 \end{bmatrix}, \dots, \begin{bmatrix} 0 & 0 & 0 \\ 7 & 7 & 2 \end{bmatrix}, \\ \begin{bmatrix} 1 & 1 & 1 \\ 0 & 0 & 0 \end{bmatrix}, \begin{bmatrix} 1 & 1 & 1 \\ 0 & 1 & 7 \end{bmatrix}, \dots, \begin{bmatrix} 1 & 1 & 1 \\ 7 & 7 & 2 \end{bmatrix}$$

# Construção multinível

## Exemplo 1

### Combinações

$$\begin{bmatrix} 0 & 0 & 0 \\ 0 & 0 & 0 \end{bmatrix}, \begin{bmatrix} 0 & 0 & 0 \\ 0 & 1 & 7 \end{bmatrix}, \dots, \begin{bmatrix} 1 & 1 & 1 \\ 7 & 7 & 2 \end{bmatrix}$$



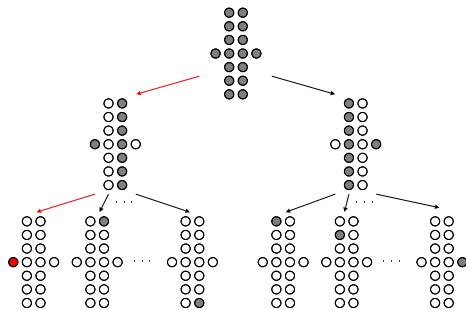
$$\mathcal{C}_1 = \{O, \dots\}$$

# Construção multinível

## Exemplo 1

### Combinações

$$\begin{bmatrix} 0 & 0 & 0 \\ 0 & 0 & 0 \end{bmatrix}, \begin{bmatrix} 0 & 0 & 0 \\ 0 & 1 & 7 \end{bmatrix}, \dots, \begin{bmatrix} 1 & 1 & 1 \\ 7 & 7 & 2 \end{bmatrix}$$



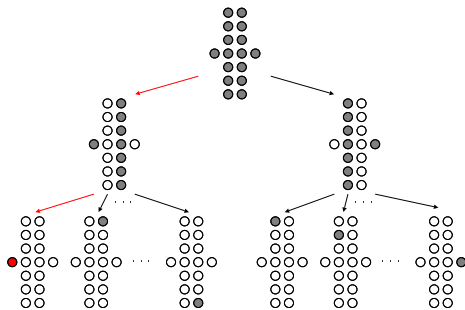
$$C_1 = \{OO, \dots\}$$

# Construção multinível

## Exemplo 1

### Combinações

$$\begin{bmatrix} 0 & 0 & 0 \\ 0 & 0 & 0 \end{bmatrix}, \begin{bmatrix} 0 & 0 & 0 \\ 0 & 1 & 7 \end{bmatrix}, \dots, \begin{bmatrix} 1 & 1 & 1 \\ 7 & 7 & 2 \end{bmatrix}$$



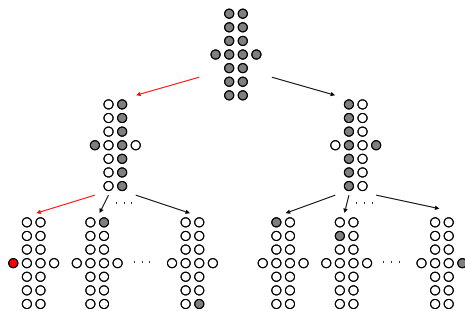
$$C_1 = \{OOO, \dots\}$$

# Construção multinível

## Exemplo 1

### Combinações

$$\begin{bmatrix} 0 & 0 & 0 \\ 0 & 0 & 0 \end{bmatrix}, \begin{bmatrix} 0 & 0 & 0 \\ 0 & 1 & 7 \end{bmatrix}, \dots, \begin{bmatrix} 1 & 1 & 1 \\ 7 & 7 & 2 \end{bmatrix}$$



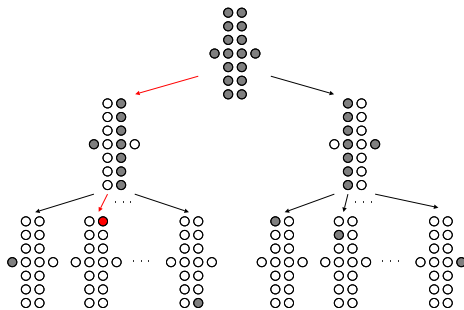
$$\mathcal{C}_1 = \{000, 0\dots\}$$

# Construção multinível

## Exemplo 1

### Combinações

$$\begin{bmatrix} 0 & 0 & 0 \\ 0 & 0 & 0 \end{bmatrix}, \begin{bmatrix} 0 & 0 & 0 \\ 0 & 1 & 7 \end{bmatrix}, \dots, \begin{bmatrix} 1 & 1 & 1 \\ 7 & 7 & 2 \end{bmatrix}$$



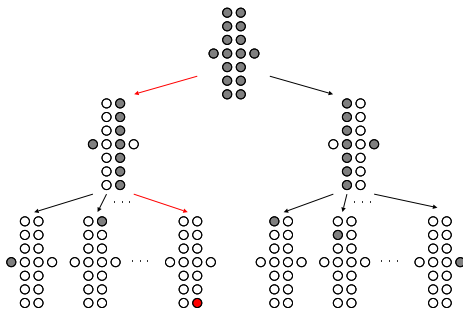
$$\mathcal{C}_1 = \{000, 0S_1^\perp \dots\}$$

# Construção multinível

## Exemplo 1

### Combinações

$$\begin{bmatrix} 0 & 0 & 0 \\ 0 & 0 & 0 \end{bmatrix}, \begin{bmatrix} 0 & 0 & 0 \\ 0 & 1 & 7 \end{bmatrix}, \dots, \begin{bmatrix} 1 & 1 & 1 \\ 7 & 7 & 2 \end{bmatrix}$$



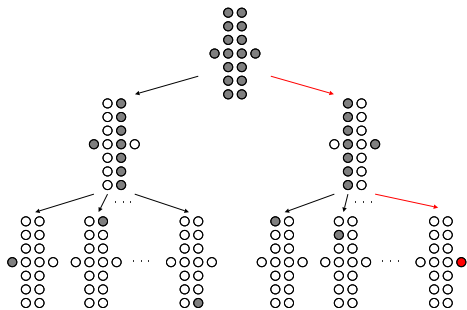
$$\mathcal{C}_1 = \{000, 0S_1^\perp S_7^\perp, \dots\}$$

# Construção multinível

## Exemplo 1

### Combinações

$$\begin{bmatrix} 0 & 0 & 0 \\ 0 & 0 & 0 \end{bmatrix}, \begin{bmatrix} 0 & 0 & 0 \\ 0 & 1 & 7 \end{bmatrix}, \dots, \begin{bmatrix} 1 & 1 & 1 \\ 7 & 7 & 2 \end{bmatrix}$$



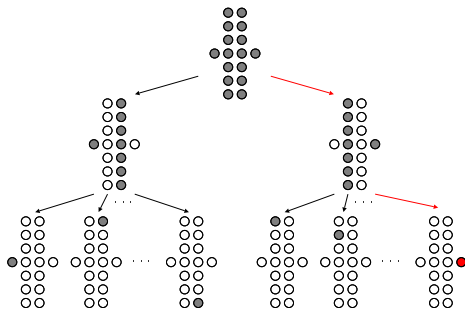
$$C_1 = \{000, 0S_1^\perp S_7^\perp, \dots, W\}$$

# Construção multinível

## Exemplo 1

### Combinações

$$\begin{bmatrix} 0 & 0 & 0 \\ 0 & 0 & 0 \end{bmatrix}, \begin{bmatrix} 0 & 0 & 0 \\ 0 & 1 & 7 \end{bmatrix}, \dots, \begin{bmatrix} 1 & 1 & 1 \\ 7 & 7 & 2 \end{bmatrix}$$



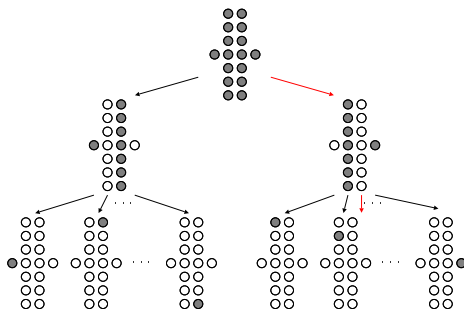
$$\mathcal{C}_1 = \{000, 0S_1^\perp S_7^\perp, \dots, WW\}$$

# Construção multinível

## Exemplo 1

### Combinações

$$\begin{bmatrix} 0 & 0 & 0 \\ 0 & 0 & 0 \end{bmatrix}, \begin{bmatrix} 0 & 0 & 0 \\ 0 & 1 & 7 \end{bmatrix}, \dots, \begin{bmatrix} 1 & 1 & 1 \\ 7 & 7 & 2 \end{bmatrix}$$



$$C_1 = \{000, OS_1^\perp S_7^\perp, \dots, WW S_3\}$$

# Construção multinível

## Exemplo 1

### Resultado

$$\mathcal{C}_1 = \{OOO, OS_1^\perp S_7^\perp, \dots, WWS_3\}$$

$$d_S(\mathcal{C}_1) = 3, \quad |\mathcal{C}_1| = 128$$

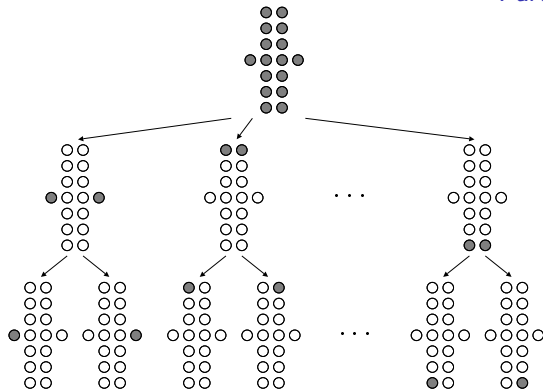
# Construção multinível

## Exemplo 2

### Objetivo

Código 3-shot  $\mathcal{C}_2$  sobre  $\mathcal{P}(\mathbb{F}_2^3)$  com  $d_S(\mathcal{C}_2) = 3$

Particionamento binível



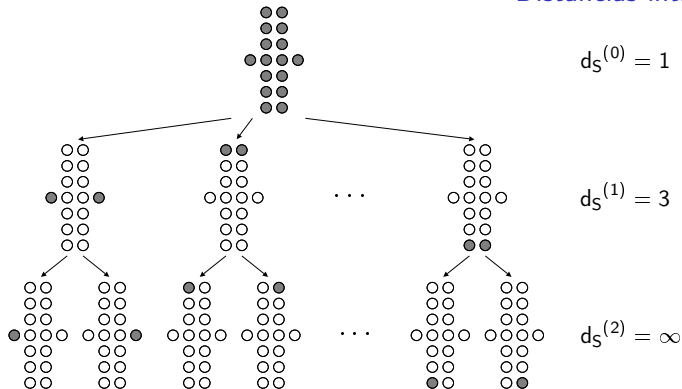
# Construção multinível

## Exemplo 2

### Objetivo

Código 3-shot  $\mathcal{C}_2$  sobre  $\mathcal{P}(\mathbb{F}_2^3)$  com  $d_S(\mathcal{C}_2) = 3$

Distâncias *intrasubset*



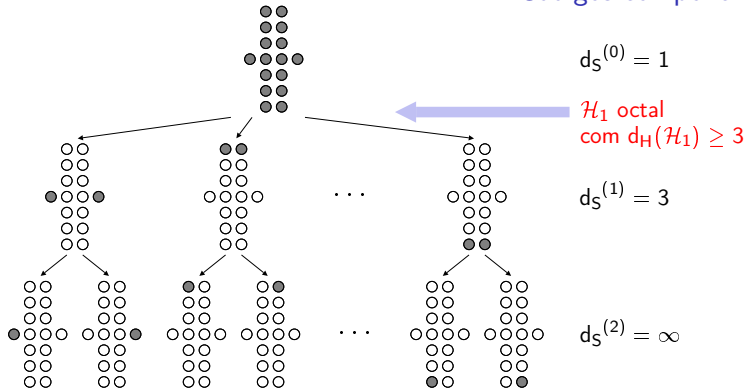
# Construção multinível

## Exemplo 2

### Objetivo

Código 3-shot  $\mathcal{C}_2$  sobre  $\mathcal{P}(\mathbb{F}_2^3)$  com  $d_S(\mathcal{C}_2) = 3$

### Códigos componentes



# Construção multinível

## Exemplo 2

### Código componente

Código de repetição:

$$\mathcal{H}_1 = \{000, 111, \dots, 777\}$$

$$d_H(\mathcal{H}_1) = 3, \quad |\mathcal{H}_1| = 8$$

### Combinações

$$[0 \ 0 \ 0], [1 \ 1 \ 1], \dots, [7 \ 7 \ 7]$$

# Construção multinível

## Exemplo 2

### Código componente

Código de repetição:

$$\mathcal{H}_1 = \{000, 111, \dots, 777\}$$

$$d_H(\mathcal{H}_1) = 3, \quad |\mathcal{H}_1| = 8$$

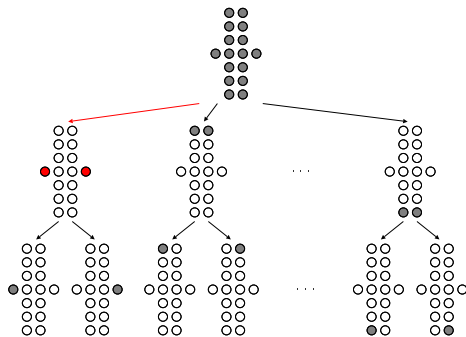
### Combinações

$$[0 \ 0 \ 0], [1 \ 1 \ 1], \dots, [7 \ 7 \ 7]$$

# Construção multinível

## Exemplo 2

### Combinações

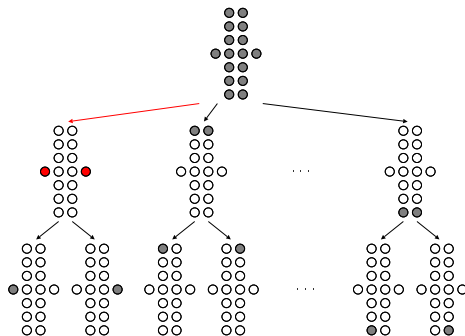
$$[0 \ 0 \ 0], [1 \ 1 \ 1], \dots, [7 \ 7 \ 7]$$


$$\mathcal{C}_2 = \{[O|W], \dots\}$$

# Construção multinível

## Exemplo 2

### Combinações

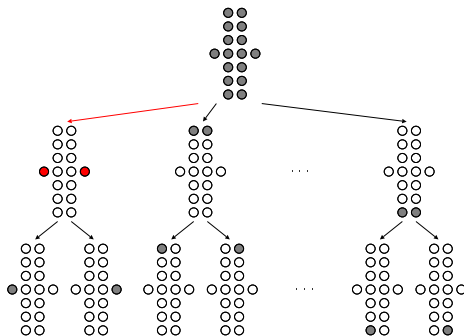
$$[0 \ 0 \ 0], [1 \ 1 \ 1], \dots, [7 \ 7 \ 7]$$


$$C_2 = \{[O|W][O|W], \dots\}$$

# Construção multinível

## Exemplo 2

### Combinações

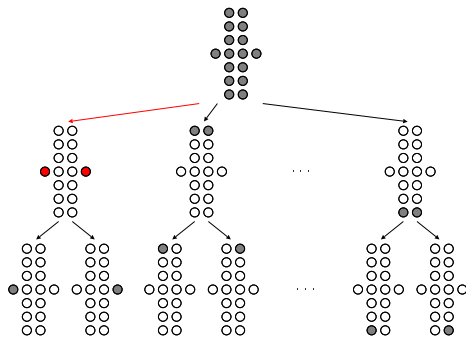
$$[0 \ 0 \ 0], [1 \ 1 \ 1], \dots, [7 \ 7 \ 7]$$


$$\mathcal{C}_2 = \{[O|W][O|W][O|W], \dots\}$$

# Construção multinível

## Exemplo 2

### Combinações

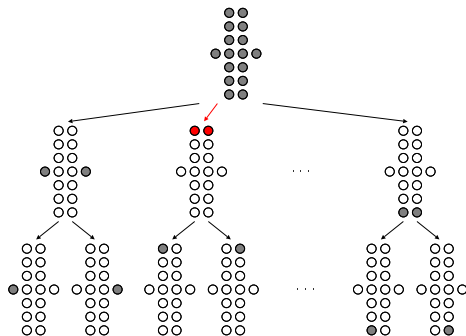
$$[0 \ 0 \ 0], [1 \ 1 \ 1], \dots, [7 \ 7 \ 7]$$


$$\mathcal{C}_2 = \{000, 00W, 0WO, 0WW, W00, W0W, WWO, WWW, \dots\}$$

# Construção multinível

## Exemplo 2

### Combinações

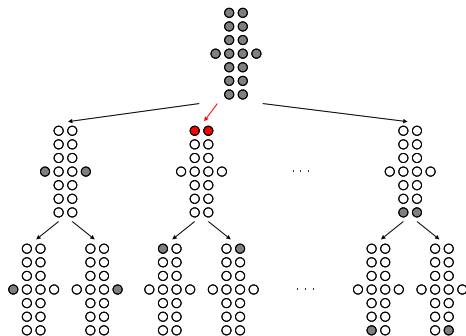
$$[0 \ 0 \ 0], [1 \ 1 \ 1], \dots, [7 \ 7 \ 7]$$


$$\mathcal{C}_2 = \{\dots, [S_1 | S_1^\perp], \dots\}$$

# Construção multinível

## Exemplo 2

### Combinações

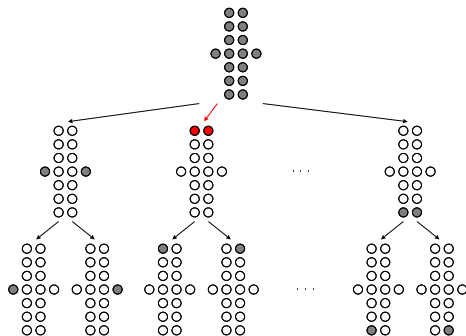
$$[0 \ 0 \ 0], [1 \ 1 \ 1], \dots, [7 \ 7 \ 7]$$


$$\mathcal{C}_2 = \{\dots, [S_1 | S_1^\perp] [S_1 | S_1^\perp], \dots\}$$

# Construção multinível

## Exemplo 2

### Combinações

$$[0 \ 0 \ 0], [1 \ 1 \ 1], \dots, [7 \ 7 \ 7]$$


$$\mathcal{C}_2 = \{\dots, [S_1 | S_1^\perp][S_1 | S_1^\perp][S_1 | S_1^\perp], \dots\}$$

# Construção multinível

## Exemplo 2

### Resultado

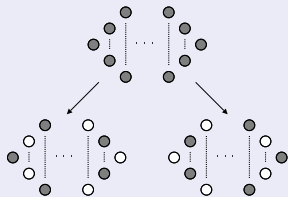
$$\mathcal{C}_2 = \{000, 00W, 0W0, \dots\}$$

$$d_5(\mathcal{C}_2) = 3, \quad |\mathcal{C}_2| = 64$$

# Construção multinível

## Duas famílias de códigos

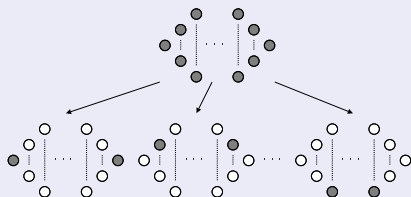
### Família 1



$$d_S(\mathcal{C}) = 2$$

$$R(\mathcal{C}) = \log_2 |\mathcal{P}(\mathbb{F}_q^m)| - \frac{1}{n}$$

### Família 2



$$d_S(\mathcal{C}) = m$$

$$R(\mathcal{C}) = 1 - \frac{1}{m} + \frac{1}{m} \log_2 |\mathcal{P}(\mathbb{F}_2^m)|$$

# Conclusão

# Conclusão

## Sumário das contribuições

### Codificação de subespaço *multishot*:

- Definição e motivação
- Relação com códigos *one-shot*
- Limitantes de Hamming, Singleton e Gilbert-Varshamov
- Construção multinível
- Aplicação no controle de erros em codificação de rede não-coerente

# Conclusão

## Sumário das contribuições

### Codificação de subespaço *multishot*:

- Definição e motivação
- Relação com códigos *one-shot*
- Limitantes de Hamming, Singleton e Gilbert-Varshamov
- Construção multinível
- Aplicação no controle de erros em codificação de rede não-coerente

# Conclusão

## Sumário das contribuições

### Codificação de subespaço *multishot*:

- Definição e motivação
- Relação com códigos *one-shot*
- Limitantes de Hamming, Singleton e Gilbert-Varshamov
- Construção multinível
- Aplicação no controle de erros em codificação de rede não-coerente

# Conclusão

## Sumário das contribuições

### Codificação de subespaço *multishot*:

- Definição e motivação
- Relação com códigos *one-shot*
- Limitantes de Hamming, Singleton e Gilbert-Varshamov
- Construção multinível
- Aplicação no controle de erros em codificação de rede não-coerente

# Conclusão

## Sumário das contribuições

### Codificação de subespaço *multishot*:

- Definição e motivação
- Relação com códigos *one-shot*
- Limitantes de Hamming, Singleton e Gilbert-Varshamov
- Construção multinível
- Aplicação no controle de erros em codificação de rede não-coerente

# Conclusão

## Trabalhos futuros

### Propostas de pesquisa:

- Métricas de injeção e de posto
- Códigos convolucionais no lugar de códigos de bloco
- Comparação dos limitantes e da complexidade computacional
- Comportamento assintótico dos limitantes (em  $q$ , em  $m$ , em  $n$ )
- Simulações computacionais

# Conclusão

## Trabalhos futuros

### Propostas de pesquisa:

- Métricas de injeção e de posto
- Códigos convolucionais no lugar de códigos de bloco
- Comparação dos limitantes e da complexidade computacional
- Comportamento assintótico dos limitantes (em  $q$ , em  $m$ , em  $n$ )
- Simulações computacionais

# Conclusão

## Trabalhos futuros

### Propostas de pesquisa:

- Métricas de injeção e de posto
- Códigos convolucionais no lugar de códigos de bloco
- Comparação dos limitantes e da complexidade computacional
- Comportamento assintótico dos limitantes (em  $q$ , em  $m$ , em  $n$ )
- Simulações computacionais

# Conclusão

## Trabalhos futuros

### Propostas de pesquisa:

- Métricas de injeção e de posto
- Códigos convolucionais no lugar de códigos de bloco
- Comparação dos limitantes e da complexidade computacional
- Comportamento assintótico dos limitantes (em  $q$ , em  $m$ , em  $n$ )
- Simulações computacionais

# Conclusão

## Trabalhos futuros

### Propostas de pesquisa:

- Métricas de injeção e de posto
- Códigos convolucionais no lugar de códigos de bloco
- Comparação dos limitantes e da complexidade computacional
- Comportamento assintótico dos limitantes (em  $q$ , em  $m$ , em  $n$ )
- Simulações computacionais

# Obrigado!

Roberto Wanderley da Nóbrega  
rwnobrega@eel.ufsc.br